

## ■ ОГЛЯДОВІ СТАТТІ

УДК 57.023.581.1

### СИСТЕМИ ТРАНСПОРТУ КАЛІЮ ТА ЇХ РОЛЬ В ФОРМУВАННІ СТРЕСОВОЇ ВІДПОВІДІ, РОСТУ ТА РОЗВИТКУ РОСЛИН

Є.О. НЕСТЕРЕНКО<sup>1,2\*</sup>, О.Є. КРАСНОПЬОРОВА<sup>1</sup>, С.В. ІСАЄНКОВ<sup>1</sup>

<sup>1</sup> ДУ «Інститут харчової біотехнології та геноміки НАН України», вул. Осиповського, 2а, Київ, 04123, Україна

<sup>2</sup> Інститут молекулярної біології і генетики НАН України, вул. Академіка Зabolотного, 150, Київ, Україна, 03143

E-mail: yevheniya.nesterenko@gmail.com\*, krasnopio524@gmail.com, stan.isayenkov@gmail.com

У цій оглядовій статті були відібрані та охарактеризовані головні системи мембраниого транспорту калію. Було проведено детальний аналіз літературних джерел та узагальнення даних щодо основних представників транспортних систем  $K^+$  в рослині, їх біологічної ролі та фізіологічних функцій у процесах росту та розвитку рослинного організму та механізмах стійкості до абіотичних стресів. Описано процеси поглинання, транспорту та перерозподілу калію між тканинами та на рівні клітини. Проаналізовано топологію та особливості структури транспортних білків заличених у транспорт калію та їх ролі у виконанні специфічних біологічних функцій. Критично оцінена роль цих мембраних транспортних білків в сигнальних процесах, механізмах посухо- та солестійкості рослин чи дефіциту калію. Запропоновані подальші перспективні напрямки та області дослідження цих важливих транспортних систем.

**Ключові слова:** транспорт калію, двопорові канали *TPK*, *Shaker* подібні канали, *Kir*-подібні канали, неселективні катіонні канали *NCCC*, *KUP/HAK/KT*транспортери, *Trk/HKT*транспортери, *CRA*транспортери.

**Вступ.** Калій ( $K^+$ ) є одним із найважливіших мінеральних елементів, що необхідний для росту та розвитку рослин. Саме застосування мінеральних добрив, у том числі калійних, у землеробстві зробило першу «зелену революцію» і значно підняло врожайність та продуктивність сільського господарства. Близько 25 мільйонів тон калійних добрив використовує світове сільське господарство щорічно.  $K^+$  є одним із найрозвіслюженніших елементів в рослинних тканин і може складати від 1 до 10 % сухої речовини (Gierth et al., 2007). Поміж важливості цього елементу для росту та розвитку рослин, спо-

живання продуктів харчування із високим вмістом  $K^+$  знижує ризик серце-судинних захворювань та позитивно впливає на кров'яний тиск. Цей елемент бере участь у багатьох важливих процесах життедіяльності рослин, а саме в осморегуляції, підтримуванні електричного мембраниого потенціалу, генерації тургорного тиску і розтягуванні клітин, руках рослин, розвитку пилку, роботі продихових клітин, сигнальних процесах. Okрім того,  $K^+$  бере участь у активації багатьох ферментів, транспорти нітратів та цукрози на великі відстані, є важливим компонентом фотосинтезу (Amtmann et al., 2008; Ahmad et al., 2013; Sharma et al., 2013). Слід зауважити, що  $K^+$  є основним елементом стійкості до засолення та посухи (Sharma et al., 2013). Коли  $Na^+$  є цитотоксичним іоном і завдяки саме йому реалізується іонний дисбаланс у випадку водного та сольового стресів, то  $K^+$  є осмопротектором (Isayenkov, 2012; Isayenkov et al., 2019; Llopis-Torregrosa et al., 2016). Концентрації цього елементу у ґрунті можуть варіювати в залежності від геологічних особливостей та інших природних факторів, тому в ході еволюційного розвитку рослини набули різних способів поглинання та підтримки внутрішньоклітинної концентрації іонів  $K^+$  (Grabov, 2007). Процес поглинання та транспорту цього елементу потребує проходу  $K^+$  через плазматичну мембрани за допомогою мембраних транспортних білків чи транспорту через апопласт при його поглинанні з ґрунту та вивільнення у просвіт ксилеми проходження через тонопласт при накопиченні або витоку у/з вакуолі, що здійснюється білками активного і пасивного транспорту та характеризуються високою та низькою афінністю до калію (Amtmann et al., 2008; Epstein et al., 1961).

Геном *Arabidopsis thaliana* містить близько 77 генів, що потенційно належать до селективних по калію транспортних систем (Demidchik, 2014). Транспортні

© Є.О. НЕСТЕРЕНКО, О.Є. КРАСНОПЬОРОВА,  
С.В. ІСАЄНКОВ, 2021

системи  $K^+$  можна розподілили у сім різних родин, чотири з яких є каналами (двопорові канали TRK, *Shaker* та  $K_{ir}$ -подібні канали, неселективні катіонні канали NCCC) і належать до низько-афінних до калію представників, а інші відносять до транспортерів (KUP/HAK/KT, Trk/HKT, CPA), які, в свою чергу, є високо-афінними до калію системами (Sharma et al., 2013; Osakabe et al., 2013). Процес поглинання, транспорту та тканинного перерозподілу цього елементу відбувається завдяки роботі іонних каналів або транспортерів у кореневих епідермальних клітинах та подальшого транспортується до пагонів та листків за допомогою ксилемних елементів, що сприяє росту та розвитку рослин (Zhao et al., 2015).

Метою даного огляду є аналіз літературних джерел та узагальнення даних, щодо основних представників транспортних систем  $K^+$  в рослині, їх біологічної ролі та фізіологічних функцій у процесах росту та розвитку рослинного організму та механізмах стійкості до абіотичних стресів.

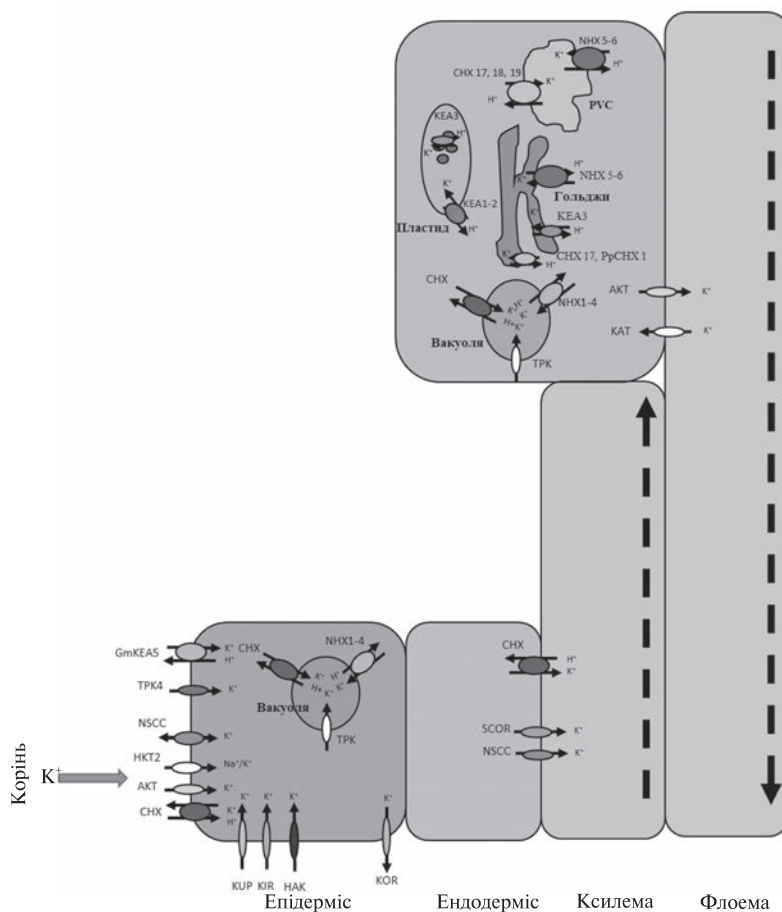
**Системи пасивного  $K^+$  транспорту.** Системами пасивного транспорту є мембрани калієві канали, що забезпечують транспорт цього елементу через мембрани завдяки електрохімічному градієнту без затрачення енергії (рис. 1). Окрім того,  $K^+$  може поглинатися та транспортуватися рослиною за допомогою апопластного шляху без затрачення систем мембраних транспортних білків (Isayenkov, 2012). Зазвичай калієві канали є мультимерними білками, характерною ознакою яких є наявність  $\alpha$ -субодиниць (трансмембранна субодиниця), що утворюють один або два порових домени. Калієві канали активуються високими концентраціями іонів  $K^+$  ( $>0,5$  mM), тому їх належить до високо-афінних транспортних систем (Cheng et al., 2018). Високо-селективними до калію ці канали робить наявний у всіх представників родин транспортних каналів мотив, що присутній у порових доменах GYGD (гліцин-тирозин-гліцин) (Lebaudy et al., 2007). Три родини  $\alpha$ -субодиниць, які формують селективні до калію канали, були ідентифіковані у рослин.  $\alpha$ -субодиниці каналів родини *Shaker*-подібні складаються з шести трансмембраних сегментів та одного порового домену, що розташований між останньою парою трансмембраних сегментів. У родини TRK  $\alpha$ -субодиниці мають гідрофобне ядро, що складається з чотирьох трансмембраних сегментів та двох порових доменів. У представників  $K_{ir}$ -подібних каналів наявні два трансмембраних сегменти та один поровий домен (Lebaudy et al., 2007; Very et al., 2003). У всіх представників калієвих каналів наявна порова петля, яка забезпечує зв'язування іонів  $K^+$  та взаємодії із киснем карбонільної групи фільтру GYGD, що розташований у поровому домені (Ward et al., 2009).

Окрім, «класичних» мембраних каналів з GYGD порою, транспорт  $K^+$  може бути опосередкований за допомогою неселективних катіонних каналів родини (NCCC).

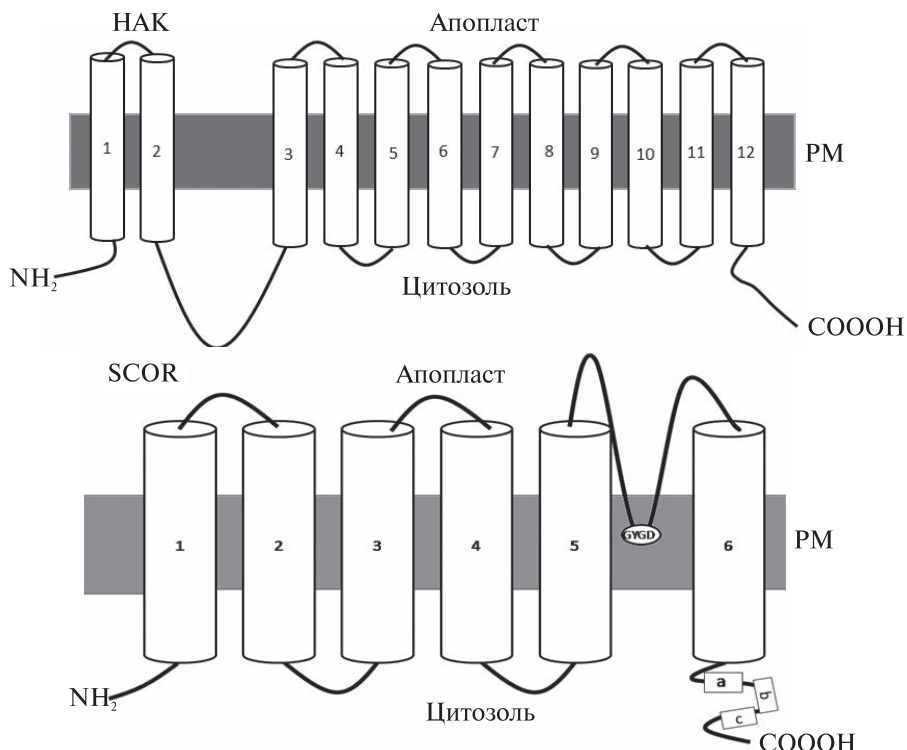
***Shaker*-подібні калієві канали.** Вперше каналі родини *Shaker*-подібні були ідентифіковані у *Drosophila* (Papazian et al., 1987). Представників цієї родини поділяють на три функціональні типи, а саме, випрямні канали витоку на зовні (outward-rectifying), випрямні канали притоку всередину (inward-rectifying) та слабо випрямні (weakly-rectifying), що відіграють важливу роль у гомеостазі  $K^+$  (рис. 1) (Gambale et al., 2006). Відомо, що *Shaker*-подібні канали відіграють особливо важливу роль у завантаженні та розвантаженні іонами  $K^+$  провідних тканин (Britto et al., 2008). У *Arabidopsis* було виявлено дев'ять генів родини *Shaker*-подібних каналів. Ці канали мають велике значення для багатьох фізіологічних процесів, зокрема вони відповідають за постійне надходження або видалення  $K^+$  з рослинних тканин (Jeanguenin et al., 2011). Випрямні канали притоку  $K^+$  належать: KAT1, KAT2, AKT1, AKT5 і AKT6 (SPIK), що активуються при гіперполяризації мембрани та опосередковують надходження іонів  $K^+$  (рис. 2). Потенціал-залежні випрямні канали витоку SKOR (stellar  $K^+$  outward rectifier), що опосередковує надходження  $K^+$  у ксилемний сік, та канали GORK (Guard cell outward-rectifying  $K^+$ ), що локалізуються в клітинах продихів, активуються при деполяризації мембрани та опосередковують відтік  $K^+$  (рис. 2) (Kleeff et al., 2018; Forster et al., 2019).

Цікавим фактом є те, що слабо випрямний канал AKT2 може опосередковувати і надходження, і відтік  $K^+$  (Kleeff et al., 2018). Також вважається, що AKT2 відповідає за циркуляцію (або рециркуляцію) іонів  $K^+$  з метою контролю рівня калію у флоемі та регуляції поляризації клітинної мембрани (Gajdanowicz et al., 2011). На додаток, KAT3 (*AtKCl*) сам по собі не є функціональним калієвим каналом, а регулює активність каналів AKT1 і KAT1, утворюючи гетеро-тетрамери (Kleeff et al., 2018). Транспорт  $K^+$  по флоемним елементам здійснюється AKT2/3 каналами, що опосередковують і поглинання, і відтік  $K^+$  (Ahmad et al., 2013). Також випрямні канали притоку *Shaker*-подібніканали KAT1 і KAT2 відповідають за рухи продихів (Jeanguenin et al., 2011; Cui et al., 2018).

Як відомо, канали GORK також опосередковують вивільнення  $K^+$  з клітин продихів та відіграють важливу роль у відтоці  $K^+$  з клітин коренів *Arabidopsis*, що опосередковується деполяризацією клітини (Kleeff et al., 2018). Активність GORK може посилюватись фосфорилюванням та сприяти відтоку  $K^+$  з про-



**Рис. 1.** Схематичний опис головних транспортних шляхів поглинання та перерозподілу  $K^+$  в рослинах. Різноманітні типи каналів та транспортерів (AKT, HKT2, NSCC, HAK, CHX, TPK4, NSCC, HAK, KIR, KUP, GmKEA5) можуть бути залученні в процес поглинання та транспорту цього елементу через плазматичну мембрну. Процес компартменталізації  $K^+$  у вакуолі опосередкований роботою TPK каналів, NHX 1–4 обмінниками та деякими представниками антипортерів підродини CHX. Транспорт та зберігання  $K^+$  у пластидах забезпечують спеціалізовані KEA 1–2 та 3 транспортери. Компартменталізація  $K^+$  в мембраних системах апарату Гольджі, превакуолярних компартментів (PVC) опосередковуються роботою представників транспортерів KEA 4–6, антипортерів CHX17 чи PpCHX1 з *Physcomitrella patens* та обмінників NHX 5–6. На додаток, деякі антипортерів CHX, а саме CHX 16, 20, 23 та OsCHX17 з рису локалізуються на мембрах ендоплазматичного ретикулуму (EP) та можуть потенційно брати участь у компартменталізації  $K^+$  до внутрішнього люмену EP. Подальший транспорт та тканинний перерозподіл  $K^+$  в рослинах опосередковується роботою представників декількох родин мембраних транспортерів, а саме SCOR, CHX, NSCC. Вважається, що саме Shaker-подібний канал SCOR є головним постачальником калію до ксилеми. Деякі представники калієвих каналів ACT можуть відповідати за загрузку флоеми та забагачення флоеми. Натомість, калієві канали KAT можуть опосередковувати видалення  $K^+$  з флоемних елементів та транспорту клітинні тканин з активним фотосинтезом. Втрата  $K^+$  рослиною на рівні кореневої системи опосередковується роботою іншого представника цієї родини каналів, а саме GORK. Також припускається, що виток цього елементу з тканин кореню може бути спричинений роботою деяких неселективних катіонних каналів (NSCC). Примітка. ACT, *Arabidopsis*  $K^+$  transport system (shaker inward potassium channel); KAT,  $K^+$ -AKTlike channel (shaker inward potassium channel); HKT, High-affinity  $K^+$  transporter Type; NSCC, Nonselective cation channels; CHX, cation/ $H^+$  exchanger; NHX,  $Na^+$ / $H^+$  exchanger; KEA,  $K^+$  efflux antiporter; TPK, two-pore potassium channel; KUP,  $K^+$  uptake permease; KIR,  $K^+$ inward rectifier; HAK, High-affinity  $K^+$  uptake transporter; SCOR, stelar  $K^+$  outward rectifying channel; GORK, guard cells outward rectifying channel.

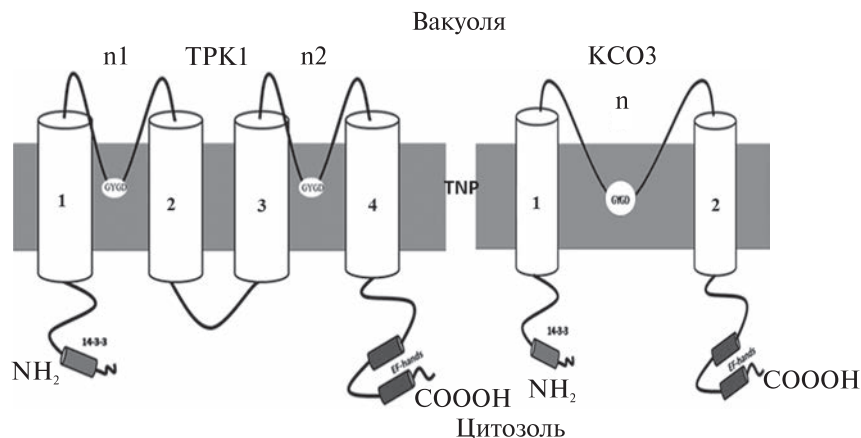


**Рис. 2.** Топологія каналу НАК та *Shaker*-подібного каналу SKOR. РМ – плазматична мембра; 1–6 та 1–12 – трансмембральні домени; П – поровий домен; GYGD – K<sup>+</sup> селективний мотив в поровому домені; CNBD (a) – домен зв’язування з циклічними нуклеотидами; ANK (b) – анкіриновий домен (припускається, що цей тип доменів відповідає за зв’язування з білками цитоскелету чи регуляторними білками (Sentenac et al., 1992); KNA (c) – кислотний домен (відповідає за взаємодію з K<sup>+</sup>)

дихових клітин (Forster et al., 2019). Припускається, що основна фізіологічна функція каналу GORK – контроль відкриття та закриття продихів шляхом вивільнення K<sup>+</sup> (Cuin et al., 2018; Hosy et al., 2003). Останні данні свідчать про те, що втрата K<sup>+</sup> коренями рослин індукована дією різних видів стресів опосередковується роботою саме GORK каналів (Isayenkov 2012; Demidchik et al., 2018). Канал SKOR (рис. 2) має гідрофобне ядро, містить 6 трансмембраних доменів, та характерний для калієвих каналів GYGD мотив у поровій петлі. Okрім того, цей канал має домен, що відповідає за зв’язування із циклічним нуклеотидом, анкіриновий домен та кислотний домен (Demidchik et al., 2014; Gaymard et al., 1998). У *Arabidopsis* SKOR експресується у ендодермальних клітинах коренів та бере участь у завантаженні ксилеми K<sup>+</sup>, що забезпечує транспорт цього елементу від коренів до верхніх органів рослини (рис. 1) (Liu et al., 2008). Відмічено, що канали SKOR здатні регулюватись кількома фізіологічними сигналами, а саме рівень pH із внутрішньої та зовнішньої сторони мембрани та позаклітинний рівень калію. І внутрішньо- і зовнішньо клітинне

закислення пригнічує діяльність SKOR (Johansson et al., 2006). Відомо, що активація каналів SKOR здійснюється у відповідь на коливання концентрації калію у ксилемі та його проникності потенціал-незалежним механізмом (Liu et al., 2008). Було показано, експресія гену, що кодує SKOR у *Arabidopsis* значно підвищується у кореневому перициклі та паренхімних клітинах ксилеми у відповідь на низький позаклітинний рівень K<sup>+</sup> (Zhao et al., 2015). Таким чином, SKOR є важливим компонентом регуляції гомеостазу K<sup>+</sup> та рециркуляції цього елементу та стійкості до абіотичних стресів.

Зазначається, що *Shaker*-подібні канали також можуть регулюватись фосфорилюванням на Ca<sup>2+</sup>-залежний манер. Показано, що взаємодіюча з кальцинервін-В-подібними білками протеїнкіназа (CBL-interacting protein kinase (CIPK)) активується специфічними кальцинерін-В-подібними білками (Calcineurin B-like protein (CBL)) і регулює поглинання і розподіл K<sup>+</sup> по рослині. Комплекси CBL1/9-CIPK23 і CBL4/CIPK6 активують *Shaker*-подібні канали AKT1 і AKT2 відповідно (Corratgé-Faillie et al., 2017; Held et al., 2011). Однак, при дослідженнях впливу



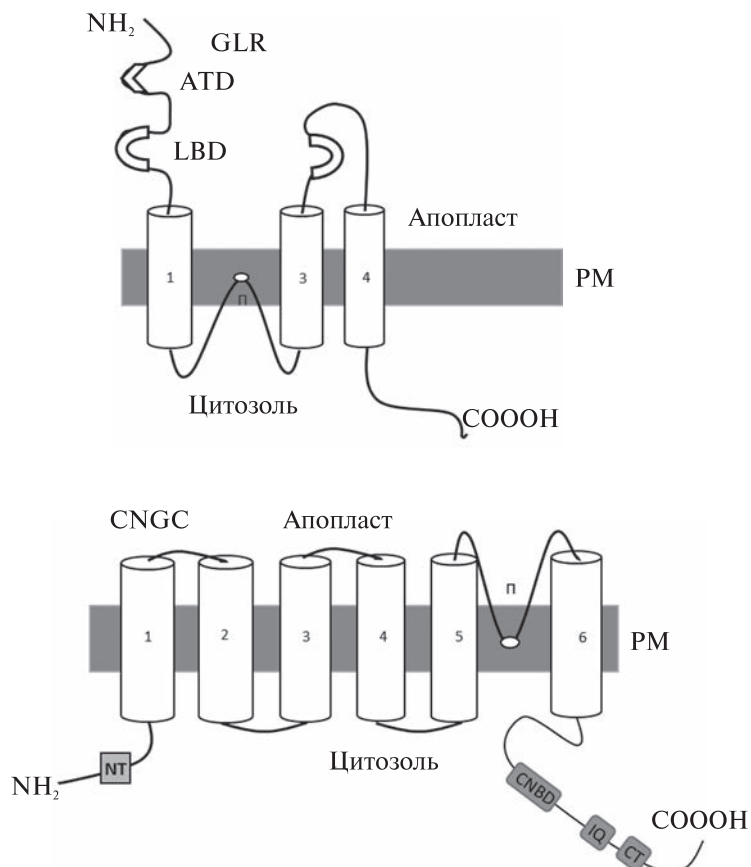
**Рис. 3.** Топологія каналів TPK1 та KCO3. TNP – тонопласт; П – поровий домен; 1–4 – трансмембраний домен; GYGD –  $K^+$  селективний мотив в поровому домені; 14-3-3 – сайт сайту зв'язування на аміно кінці; EF-hands – домен зв'язування з  $Ca^{2+}$  на карбоксильному кінці

СРК13 на представників родини *Shaker*-подібних КАТ1 та КАТ2 було виявлено, що інгібуюча дія на останні є  $Ca^{2+}$ -незалежною (Corratgé-Faillie et al., 2017). Експресія генів, що кодують представників *Shaker*-подібних каналів може регулюватися і на рівні транскрипції і на пост-трансляційному рівні під впливом дефіциту  $K^+$  або довготривалої сольової або гормональної обробки (Kleeff et al., 2018; Maathuis et al., 2003). Таким чином *Shaker*-подібні калієві канали є важливою ланкою транспорту калію та підтримки багатьох фізіологічних функцій та захисних процесів рослин.

**Двопорові калієві канали.** Канали TPK складаються з чотирьох трансмембраних доменів, які утворюють дві пори (рис. 3). Кожна пора містить селективний до  $K^+$  домен GYGD, а С кінець один або два домени EF-hands (Isaenkov et al., 2013) (рис. 3). Геном *Arabidopsis thaliana* кодує п'ять різних представників каналів родини TPK у *Arabidopsis* (TPK1, TPK2, TPK3, TPK4 та TPK5) (Isaenkov et al., 2013; Voelker et al., 2006). Одним із найбільш охарактеризованих представників TPK-каналів є AtTPK1 з *Arabidopsis*. Відомо, що регуляція AtTPK1 може відбуватись за допомогою цитозольного  $Ca^{2+}$ , фосфорилювання білками 14-3-3 у N-кінцевого та величини pH у цитозолі (Gobert et al., 2007; Tang et al., 2020). AtTPK1 відповідає за  $K^+$  гомеостаз, вивільнення цього елементу при закритті продихів та проростанні насіння. Окрім того, існують експериментальні данні, що вказують на роль цього каналу та його гомологів, а саме саме HvTPK1 з ячменю та OsTPK1a з рису, в осморегуляції. Ці канали можуть бути внутрішньоклітинними осмосенсорами, що швидко збільшують активність каналів протягом гіперосмотичного шоку для вивільнення вакуолярного  $K^+$  (Maathuis et al., 2011;

Isayenkov et al., 2011). Майже всі члени родини TPK з *Arabidopsis thaliana* локалізовані у тонопласті літичних вакуолів (рис. 1). TPK3 експресується у пилку та кореневих кінчиках, а TPK5 у судинних тканинах, гідатодах та квіткових органах (Isaenkov et al., 2013; Voelker et al., 2006). На відміну від інших представників родини TPK4 локалізується у плазматичній мембрани пилку (Becker, et al., 2004; Marcel, et al., 2010). Хоча існує припущення, що AtTPK3 локалізується у мембрани тилакоїдів хлоропластів, де відповідає за  $K^+$  гомеостаз, останні дані вказують на його тонопластну локалізацію (Carrasco et al., 2013; Höhner et al., 2019). На додаток, OsTPK1b з рису локалізується виключно на мембрах протеїнових вакуолів (Isayenkov et al., 2011; Isayenkov et al., 2011). TPK можуть також відігравати важливу роль у стійкості рослин до засолення та посухи. Будо показано, що експресія гена TPK1a з тютюну збільшується більше ніж у 2 рази за умови дії осмотичного шоку та сольового стресу (Hamamoto et al., 2008). Окрім того, AtTPK1 зазнає фосфорилювання за допомогою  $Ca^{2+}$ -залежної протеїнкінази CDPK3 в умовах засолення (Latz et al., 2007) (рис. 3). Рослини рису з надекспресією OsTPK1b мають кращі показники стійкості до засолення та осмотичного стресу (Ahmad et al., 2016). Таким чином подальше глибинне вивчення цих каналів має важливе значення.

**$K_{ir}$ -подібні канали.**  $K_{ir}$ -подібні канали, що локалізуються у вакуолях, вперше були виявлені у геномі *Arabidopsis* (Lebaudy et al., 2007; Ward et al., 2009; Voelker et al., 2006).  $K_{ir}$ -подібні канали складаються з двох трансмембраних доменів поєднаних петлею між ними (MacKinnon, et al., 2003). Вони єrudimentарними калієвими каналами.  $K_{ir}1$  (також KCO3) раніше відносили до родини TPK (Ward et al., 2009)



**Рис. 4.** Топологія родини неселективних катіонних каналів NCCC, а саме глутамат подібних рецепторів (GLR) та каналів залежних від циклічних нуклеотидів (CNGC). PM – плазматична мембрана; П – поровий домен; NT – сайт зв’язування з кальмодуліном на амінокінці; СТ – сайт зв’язування кальмодуліном на карбоксильному кінці; IQ – ізолецин-глата-міновий домен з функцією зв’язування з кальмодуліном; CNBD – сайт зв’язування з циклічними нуклеотидами; ATD – домен аміно кінця; LBD – домен зв’язування з лігандами, 1–4 чи 1–6 – транс-мембральні домени

(рис. 3). Однак філогенетичні дослідження показали, що вони утворились внаслідок дуплікації гену каналу TPK з частковою делецією, що привело до втрати одного порового домену. Як наслідок рослинні  $K_{ir}$ -подібні канали мають два трансмембраних домени та один поровий між ними (рис. 3) (Margel et al., 2010). До нині представники  $K_{ir}$ -подібних каналів були виявлені лише у представників роду *Arabidopsis*, тому вважається, що ця родина виникла нещодавно в ході еволюційного процесу (Ward et al., 2009). Значна кількість дослідників виділяють  $K_{ir}$ -подібні канали як окрему родину. Геном *Arabidopsis* кодує лише одного представника родини  $K_{ir}$ -подібних каналів – це KCO3 (Sharma et al., 2013; Ward et al., 2009). Експресію даного гену можна спостерігати у судинній тканині листка, тканинах квітки, коріння та стебла, а також у гідатодах, що також властиве для TPK5. Вірогідно, що KCO3 приймає участь у осморегуляції, адже рослина з нокаутом гену KCO3 показує знижений ріст в умовах осмотичного стресу (Voelker et al., 2006). Однак, ця зміна фенотипу рослини може комплементувати експресією мутантного гену KCO3 з неактивною поровою. Ці результати показують, що функції KCO3 в умовах ос-

мотичного стресу не залежить від його здатності переносити іони  $K^+$  (Sharma et al., 2013).

Неселективні катіонні канали (NCCC). Неселективні катіонні канали родини (Nonselective cation channels, NSCCC) включають у себе дві родини генів, а саме подібні до глутаматних рецепторів канали (Glutamate receptor-like channels (GLRs)) та регульовані циклічними нуклеотидами канали (Cyclic nucleotide-gated channels, CNGC). GLR-канали складаються із трьох трансмембраних доменів та одної пори (рис. 4.). На відміну від GLR, CNGC канали мають 6 трансмембраних доменів та одну пору (рис. 4.). Припускається, що ці канали є головними воротами для поглинання  $Na^+$  рослинами при дії сольового стресу. Проте, ці родини каналів також демонструють провідність для  $K^+$  та  $Ca^{2+}$  (Demidchik et al., 2014; Demidchik et al., 2018). Було продемонстровано, що NSCC беруть участь у формуванні стійкості рослин до абіотичних та біотичних стресів (рис. 1) (Demidchik et al., 2018; Jha et al., 2016). Здебільшого, функціонування NSCC пов’язують з транспортом та поглинанням  $Na^+$  при засоленні та  $Ca^{2+}$  для сигнальних функцій. Серед NSCC найбільш детально охарактеризована група

CNGC каналів. Було продемонстровано, що експресія урізаної версії AtCNGC1 без домену зв'язування з кальмодуліном (CaM binding domain) призводить до збільшення внутрішньоклітинної концентрації K<sup>+</sup> в *trk1/trk2* мутантах дріжджів із втраченими системами поглинання K<sup>+</sup> (Ali et al., 2006). Аналіз мутантів рослин, які втратили функції деяких представників CNGC каналів, показав здатність до транспорту K<sup>+</sup> трьох членів цієї родини, а саме AtCNGC1, AtCNGC3 та AtCNGC10. Зокрема було показано, що мутантна лінія *Arabidopsis Atcngc1*, що втратили функцію AtCNGC1 накопичують менше Ca<sup>2+</sup> в пагонах та показують меншу чутливість до токсичних концентрацій Na<sup>+</sup> (Hampton et al., 2004; Maathuis et al., 2006; Yuen et al., 2010). Рослини мутантної лінії *Arabidopsis Atcngc3*, що втратили функцію AtCNGC3 є менш чутливими до дії високих концентрацій K<sup>+</sup>, що інгібують ріст рослин, та акумулюють цей елемент в своїх тканинах у менших кількостях ніж дикий тип (Gobert et al., 2006). Отже, NSCC можуть відігравати важливу роль у транспорти K<sup>+</sup>, підтримці іонного гомеостазу та стійкості рослин до впливу стресів різної природи. Подальше розкриття транспортних властивостей та біологічних функцій цієї родини каналів наддасть можливість краще розуміти питання регуляції транспорту головних катіонів рослини, а саме Na<sup>+</sup>, K<sup>+</sup> та Ca<sup>2+</sup>.

**Системи активного K<sup>+</sup> транспорту.** Активні системи транспорту поділяють на уніпортери, симпортери та антипортери (Nieves-Cordones et al., 2010). Особливістю анти- та симпортерів є те, що активність цих транспортирних білків цілком залежить від рушійної сили протонів чи катіонів, зокрема Na<sup>+</sup> чи K<sup>+</sup> (Grabov, 2007). Завдяки цим ознакам транспортери здатні транспортувати K<sup>+</sup> проти концентраційного градієнту (Cheng et al., 2018). На відміну від іонних каналів, транспортні властивості яких обумовлені наявністю електрохімічного градієнту (Busch 2002) транспортери, є високо-афінними системами та здатні забезпечувати транспорт K<sup>+</sup> за умов низької зовнішньої концентрації цього елементу (<0,2 mM) (Cheng et al., 2018).

**Калієві транспортери родини KUP/HAK/KT.** Родина транспортерів KUP/HAK/KT (K uptake permease, KUP; High affinity Кпоглинання K<sup>+</sup>/високо-афінний до K<sup>+</sup>/K<sup>+</sup> транспортер) – це найчисленіша родина калієвих транспортерів у рослин. Представників даної родини виявлено у багатьох видів рослин (Cheng et al., 2018; Wang et al., 2018). Транспортери родини KUP/HAK/KT беруть участь у поглинанні K<sup>+</sup>, розтягування клітин, росту кореневих волосків, розподілі ауксіну та у формуванні захисної реакції на дію осмотичного стресу (рис. 1) (Busch 2002). Транспортери KUP/HAK/KT складаються з 10–14 трансмембраних доменів (рис. 5.) (Wang et al., 2018).

Членів родини KUP/HAK/KT поділяють на чотири групи (I, II, III, IV) (табл. 1, <http://cytgen.com/articles/5510075s.pdf>). Представники групи I, наприклад *HvHAK1* з ячменю, відповідають за високо-афінне поглинання іонів K<sup>+</sup> у корінні. Члени групи II, такі як: AtHAK2, AtKUP4, AtHAK4, OsHAK5 беруть участь у різноманітних процесах росту та розвитку рослини. Представники групи III (AtHAK2, AtKUP/KT5, AtHAK6, AtHAK7 та інші) відповідають за підтримку K<sup>+</sup>/Na<sup>+</sup> гомеостазу. Відомостей про біологічні функції представників групи IV поки що зовсім мало, однак вважається, що вони відповідають за транспорт Na<sup>+</sup> в рослині (Ou et al., 2018; Li et al., 2018; Zhang et al., 2020).

Загалом представники цієї родини відіграють важливу роль у різноманітних фізіологічних процесах рослин, а саме поглинанні та транспорти іонів K<sup>+</sup>, регуляції росту та розвитку, солестійкості та регуляції осмотичного потенціалу (Li et al., 2018). У *Arabidopsis thaliana* було ідентифіковано 13 представників родини KT/HAK/KUP (Cheng et al., 2018). Відомо, що за поглинання іонів калію у *Arabidopsis* відповідають AtHAK5 та AtAKT1 (Cheng et al., 2018; Li et al., 2018; Han et al., 2016). Було також виявлено, що AtKUP7 також бере участь в процесах поглинання K<sup>+</sup> і може частково сприяти насиченню ксилеми цім елементом (Han et al., 2016). У рисі гомологами AtHAK1 та AtAKT5 є OsAKT1 і OsHAK1 відповідно, які виконують подібні функції (Cheng et al., 2018). Наприклад, OsHAK1 забезпечує солестійкість регулюючи поглинання калію та підтримуючи оптимальне співвідношення K<sup>+</sup>/Na<sup>+</sup> (Ou et al., 2018). Більш того, в умовах посухи рослини з оверекпресією OsHAK1 давали на 35 % більше врожаю ніж рослини дикого типу (Chen et al., 2017). Ген транспортеру OsHAK5 також частково сприяє високо-афінному поглинанню калію, однак при вищих концентраціях K<sup>+</sup> ніж OsHAK1. Високий рівень експресії OsHAK5 було відмічено у паренхімі ксилеми та флоеми тканин судин коренів, особливо в умовах дефіциту калію, що свідчить про те, що OsHAK5 може брати участь у розподілі калію між тканин коренів та пагону (Yang et al., 2014). Ще один член родини виявлений у рисі OsHAK21 демонструє активність калієвого транспортеру, але не залучений до прямого поглинання іонів K<sup>+</sup>. Однак було показано, що OsHAK21 бере участь у формуванні відповіді на дію стресів абіотичної природи (Cheng et al., 2018; Ou et al., 2018).

Отже, відповідно до проаналізованих даних калієві транспортери родини KUP/HAK/KT відіграють важливу роль у поглинанні, транспорти, тканинному розподілі K<sup>+</sup>, відповідають за гомеостаз цього елементу у рослині та формують адаптивні відповіді.

**Транспортери родини Trk/HKT.** Транспортери родини Trk/HKT (High affinity K<sup>+</sup> transporters, HKT) –

це представники  $K^+/Na^+$  транспортерів (Nawaz et al., 2019). Дано родина забезпечує транспорт іонів  $Na^+$  і  $K^+$  (рис. 1). Наприклад AtHKT1;1, TmHKT1;5 і TmHKT1;4 опосередковують поглинання  $Na^+$  клітинами паренхімни з ксилемного соку, та насичення флоеми на  $Na^+$  (Su et al., 2015). OsHKT1;5 локалізується у клітинах паренхіми, що оточують судини ксилеми, та відповідає за видалення  $Na^+$  з ксилеми (Ren et al., 2005). Вперше представника цієї родини (TaHKT2;1, тоді названий HKT1) було виявлено та ізольовано з коренів пшениці (*Triticum aestivum*) (Schachtman et al., 1994). Після чого представники родини Trk/HKT були виявлені у багатьох інших видах рослин (Su et al., 2015; Zhang et al., 2019).

При філогенетичному аналізі були виявлені відмінності у ключовій амінокислоті першої порової петлі білка родин HKT (рис. 4), що спричинило поділ цієї групи білків на дві підродини (табл. 2, <http://cytgen.com/articles/5510075s.pdf>) (Huang et al., 2008). Представники підродини 1 (HKT1) містять серин у першій поровій петлі, що посилює специфічність до транспорту іонів  $Na^+$ . Тоді як у підродини 2 (HKT2) присутній гліцин, що є ко- або уні-транспортером іонів  $K^+$  та  $Na^+$  (рис. 5) (Zhang et al., 2019; Rodriguez-Navarro et al., 2006). Відомо, що однодольні рослини мають більше представників HKT ніж дводольні. Okрім того, транспортери HKT1 наявні як у однотак і у дводольних рослин, а HKT2 виключно у однодольних (Su et al., 2015). Цікавим фактом є те, що деякі дослідники виділяють підродину III родини Trk/HKT, до якої вони відносять транспортери, що були виявлені у примітивних вищих рослин, а саме у *Selaginella moellendorffii* та *Physcomitrella patens* (Su et al., 2015). Нині виявлено всього 8 представників підродини III, та припускається, що вони виконують функції  $K^+-Na^+$ -котранспортерів, однак відомостей про це мало (табл. 2) (Su et al., 2015).

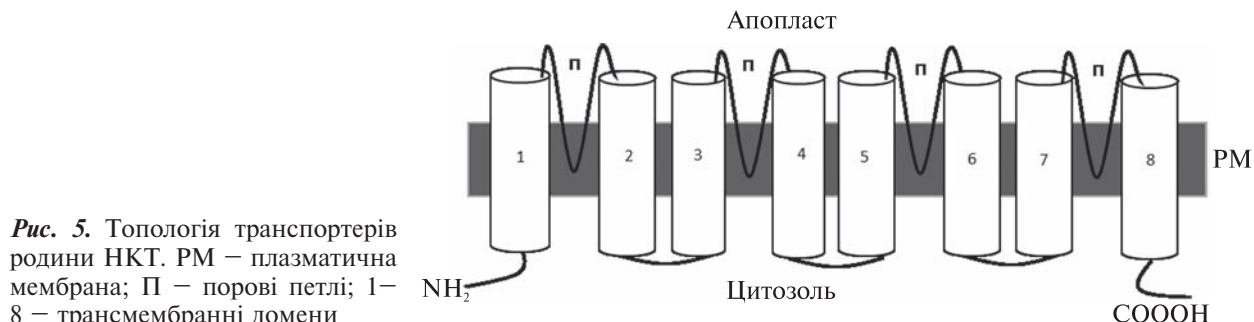
Представники підродини HKT1 являють собою  $Na^+$  транспортери, відповідають за гомеостаз  $Na^+$  і солестійкість у багатьох видах рослин (табл. 2) (Horie et al., 2009; Hauser et al., 2010; Mishra et al., 2016). Вони переважно відповідають за видалення  $Na^+$  з ксилемного соку, що перешкоджає потраплянню цього токсичного іону до тканин з активним фотосинтезом (Almeida et al., 2013). Подібні функції демонструють AtHKT1;4 з *Arabidopsis*, OsHKT1;5 з рису та TmHKT1;4 і TmHKT1;5 з пшениці (Zhang et al., 2018). Цікаво, що EsHKT1;2 транспортер з галофіту *Eutrema salsuginea* демонструє селективність до  $K^+$ . Було показано, що EsHKT1;2 підтримує рівень  $K^+$  у корінні в умовах засолення (Nawaz et al., 2019; Su et al., 2015). Існують експериментальні данні, що вказують на можливість зміни селективності по  $Na^+$  для HKT1 у галофітів (Isayenkov, 2012).

Транспортери HKT2 є  $K^+-Na^+$  котранспортерами (табл. 2). HKT2 здатні поглинати  $Na^+$  із зовнішньо-

го середовища, особливо за умов дефіциту  $K^+$  (Mishra et al., 2016; Almeida et al., 2013, Horie et al., 2011). Найбільш виражену селективність і до  $K^+$  і до  $Na^+$  серед білків HKT демонструє OsHKT2;4 з рису. Він забезпечує надходження  $K^+$  через плазматичну мембранину всередину клітини, що вирізняє його поміж інших представників HKT транспортерів типу II (Horie et al., 2011). OsHKT2;4 експресується переважно у клітинах кореневих волосків та паренхімних клітинах судин (Mishra et al., 2016). Оскільки OsHKT2;1 та OsHKT2;4 експресуються у кореневих волосках та клітинах зовнішніх покривів коренів, то вважається, що вони забезпечують надходження натрію до коренів з ґрунту (Mishra et al., 2016). Експресія HvHKT2;1 з ячменю переважно відбувається в кореневому кортексі, а рівень його експресії підвищується у відповідь на низькі  $K^+$  та високі  $Na^+$  концентрації у зовнішньому середовищі (Mian et al., 2011). На відміну від TaHKT2;1 з пшениці, HvHKT2;1 здатен підтримувати транспорт  $K^+$  навіть за відсутності  $Na^+$ , хоча в таких умовах рівень поглинання  $K^+$  знижується. Для повноцінного функціонування та транспорту  $K^+$  за допомогою TaHKT2;1 необхідна наявність  $Na^+$  (Almeida et al., 2013; Laurie et al., 2002). У трансгенних рослин ячменю з оверекспресією HvHKT2;1 виявлено підвищену концентрацію  $Na^+$  у ксилемному соці, підвищений рівень транслокації  $Na^+$  до пагонів, та збільшення вмісту цього елементу у листках. Оверекспресія HvHKT2;1 сприяла підвищенню солестійкості внаслідок підсилення здатності рослин до накопичення  $Na^+$  та мінімізації негативних наслідків осмотичного шоку (Mian et al., 2011). Припускається, що HvHKT2;1 може поглинати корінням  $K^+$  при його дуже низьких зовнішніх концентраціях (Almeida et al., 2013; Mian et al., 2011). TaHKT2;1 з пшениці та OsHKT2;2 з рису переважно є транспортерами  $Na^+$ , що активуються при низьких концентраціях  $Na^+$  (~0,1 mM) та за відсутності іонів  $K^+$ . При нокауті гену TaHKT2;1 було виявлено зниження рівня поглинання  $Na^+$  корінням в умовах підвищеної солоності (Cao, et al., 2018). Поглинання  $Na^+$ , що опосередковане OsHKT2;1 здатне сприяти росту рослини в умовах дефіциту  $K^+$  (Horie et al., 2011). ZmHKT2 з кукурудзи переважно калієвий транспортер з  $Na^+$  транспортною активністю, коли концентрація натрію (~10 mM) значно перевищує концентрацію  $K^+$  (Cao et al., 2018).

Таким чином робота HKT транспортерів є надзвичайно важливою при рості в умовах дефіциту калію та осмотичної компенсації натрієм при осмотичному стресі та засоленні.

**Група CPA транспортерів.** Надродина катіон-протон антіпортерів (Cation /Proton antiporter, CPA) об'єднує в собі групи білків, що відповідають за обмін катіонів у всіх живих організмах. Основними функціями цих транспортних протеїнів є контроль



**Рис. 5.** Топологія транспортерів родини НКТ. РМ – плазматична мембрана; П – порові петлі; 1– 8 – трансмембральні домени

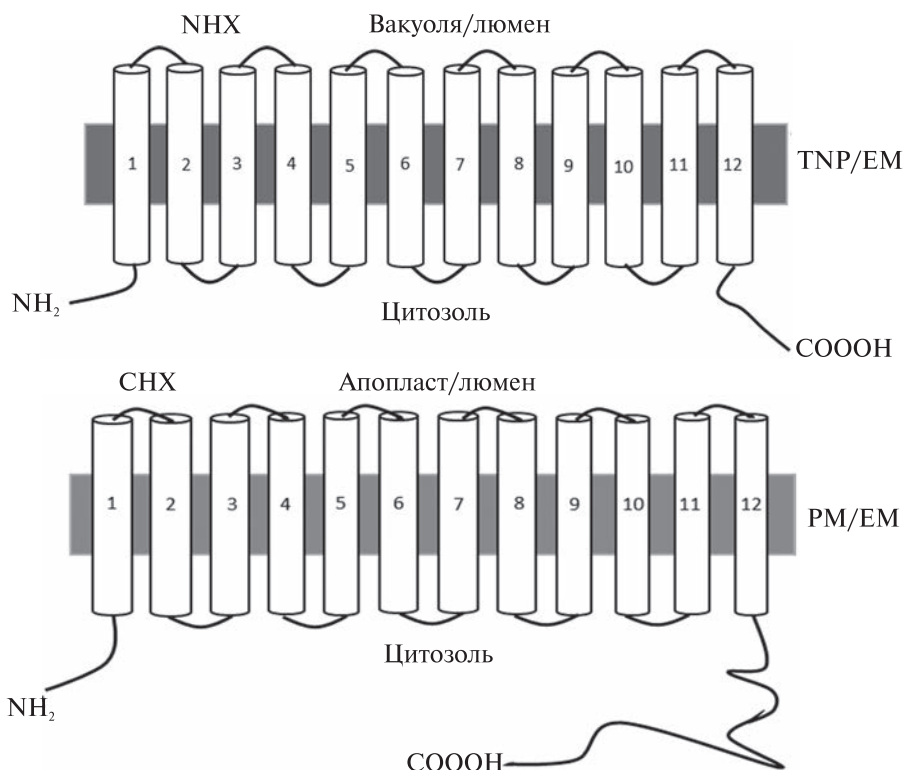
рівня pH та катіонного гомеостазу. Наявність консервативного  $\text{Na}^+/\text{H}^+$  обмінного домену є характерною ознакою надродини CPA (Jia, et al., 2017). Локалізуються ці білки у вакуолях та мембрах органел (Sharma, et al., 2020). Згідно з класифікацією Saier (Saier, 2000) дану надродину розділяють на дві функціональні групи: CPA1, до якої належать NHE – транспортери або NHX –  $\text{Na}^+/\text{H}^+$  обмінники та NhaP або SOS; та CPA2, що включає родини антипортери KEA та обмінники CHX (Sharma, et al., 2020).

**Транспортери NHX/NHE.** Транспортери родини NHX/NHE ( $\text{Na}^+/\text{H}^+$  exchanger) (рис. 6) опосередковують обмін катіонів на протони за рахунок електрохімічних градієнтів (Ayadi et al., 2019). NHX транспортери локалізуються на внутрішніх мембрах клітин та здатні регулювати клітинний pH, ріст та розвиток рослини, підтримувати калієвий гомеостаз та процеси толерантності до осмотично-го стресу (рис. 1) (Dong et al., 2018). Рослинні NHX являють собою широко розповсюджені мембрани  $\text{Na}^+/\text{H}^+$  антипортери, що відповідають за обмін іонів  $\text{Na}^+$  чи  $\text{K}^+$  на  $\text{H}^+$  через вакуолярну або ендосомну мембрану підтримуючи іонний гомеостаз (рис. 6) (Bassil et al., 2012). Загалом серед відомих представників NHX виділяють вакуолярні та ендосомальні (рис. 1) (Bassil et al., 2019).

*AtNHX1* – перший рослинний представник, який був ідентифікований у тонопласті *Arabidopsis*, було показано, що він проявляє  $\text{Na}^+/\text{H}^+$  обмінну активність у вакуолях рослини (Apse et al., 1999). Відмічено, що при оверекспресії *AtNHX1* відбувалось підвищення рівня тканинного  $\text{Na}^+$  у трансгенних томатів та *Arabidopsis* (Apse et al., 1999). Однак, подальші дослідження свідчать про те, що *AtNHX1* опосередковує обмін і  $\text{Na}^+$  і  $\text{K}^+$  на  $\text{H}^+$  в тонопласті трансгенних томатів. При створенні нокауту гену *AtNHX1* з *Arabidopsis* було відмічено порушення  $\text{Na}^+/\text{H}^+$  та  $\text{K}^+/\text{H}^+$  обміну в вакуолях листків, зміни у розвитку листка та активації високоафінних до  $\text{K}^+$  транспортерів (Jegadeeson et al., 2019). Загалом у *Arabidopsis* виявлено 6 представників родини NHE/NHX, 4 з яких локалізуються на вакуолярній мембрани (*AtNHX1-4*), 2 в ендосомах (*AtNHX5* і

*AtNHX6*) (Dragwidge et al., 2019). У *Arabidopsis* найбільш розповсюдженими є *AtNHX1* та *AtNHX2*, що були виявлені у корінні, пагоні та насінні. Цікавим фактом є те, що *AtNHX1* та *AtNHX2* активуються у відповідь на сольовий стрес та гіперосмотичний шок у насінні, а активація *AtNHX5* відбувається виключно у відповідь на сольовий стрес (Rodriguez-Rosales et al., 2009). Оскільки представники родини NHX та-кож здатні транспортувати  $\text{K}^+$ . При оверекспресії *AtNHX1* або *AtNHX2* спостерігається підвищення вмісту внутрішньоклітинного  $\text{K}^+$  та  $\text{Na}^+$  за присутності  $\text{NaCl}$  (Yokoi 2002). Останні дослідження свідчать про те, що швидше за все *AtNHX1* і *AtNHX2* відповідають за підтримку гомеостазу  $\text{K}^+$  та рівню pH у вакуолях. Цікавим фактом є те, що *AtNHX3* підтримує іонний гомеостаз за рахунок видалення  $\text{K}^+$  з рослини (Ayadi et al., 2019). *AtNHX4* також бере участь у реакції на сольовий стрес та підтримує  $\text{Na}^+$  гомеостаз у клітині (Ayadi et al., 2019). Проте, конститутивна експресія *AtNHX5* та *LeNHX2* сприяє підвищенню вмісту внутрішньоклітинного  $\text{K}^+$ , але знижує вміст  $\text{Na}^+$  (Yokoi 2002; Huerta et al., 2013). *AtNHX5* і *AtNHX6* локалізовані у мережі транс-Гольджі, та відіграють важливу роль у іонному транспорти у мережі транс-Гольджі, однак механізми роботи такого транспорту залишаються невивченими. Припускається, що активність *AtNHX5* і *AtNHX6* спрямована на підтримку нормального функціонування апарату Гольджі (Dragwidge et al., 2019). Окрім того, було показано, що солестійкість шовковиці (*Morus nobilis*) обумовлена роботою ендосомального *MnNHX6* [93].

Геном пшениці кодує 3 відомих представника NHX (*TaNHX1*, *TaNHX2*, і *TaNHX3*). Було показано, що експресія *TaNHX1* і *TaNHX3* у трансгенному тютюні сприяла підвищенню солестійкості у рослин, а *TaNHX2* сприяла транслокації  $\text{Na}^+$  з цитозолю до вакуолі та формуванню стійкості до засолення (Mushke et al., 2019). У рисі ідентифіковано 4 вакуолярні білка (*OsNHX1-4*) та один ендосомальний (*OsNHX5*). Було продемонстровано, що всі ці транспортери зачленені у процеси формування солестійкості (Isayenkov, 2012; Ayadi et al., 2019; Tester et al.,



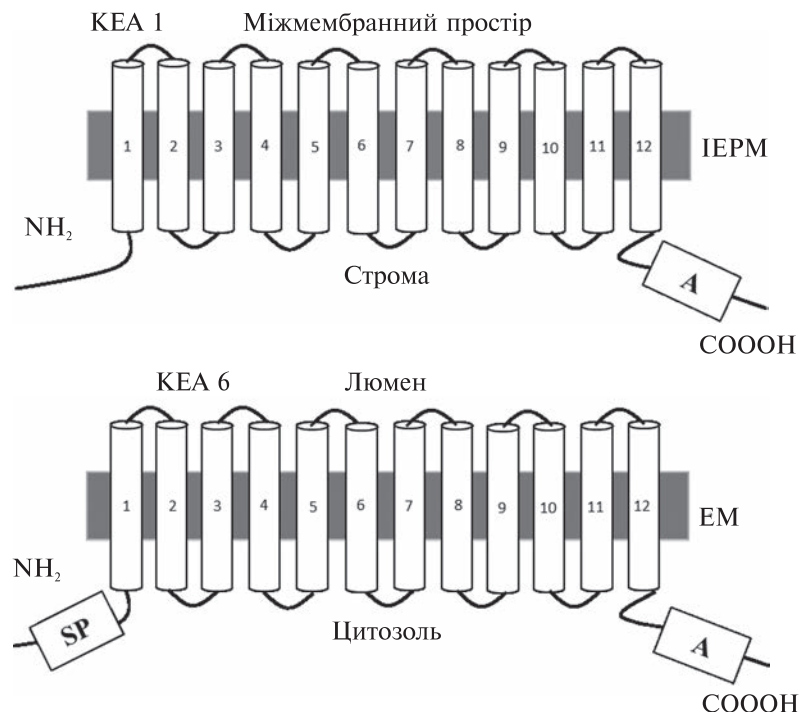
**Рис. 6.** Топологія транспортерів NHX та CHX. TNP – тонопласт; PM – плазматична мембрана; EM – мембрани ендосом; 1–12 – це трансмембральні домени

2003). Хоча роботу NHX-транспортерів пов’язують з вакуолярною чи ендосомальною утилізацією  $\text{Na}^+$ , останні експериментальні данні свідчать про важливу роль цих транспортних білків у транспорти та зберіганні  $\text{K}^+$  у вакуолях чи ендосомах (Yamaguchi et al., 2013).

**Антіпортери KEA.** Антіпортери родини KEA філогенетично походять від транспортерів витоку  $\text{K}^+/\text{H}^+$  *EcKefB* та *EcKefC* у *E. coli* (Zhu et al., 2018; Changoj et al., 2012). Представники даної родини являють собою  $\text{K}^+/\text{H}^+$  антіпортери (Aranda-Sicilia et al., 2016). За філогенетичним аналізом родину KEA розділяють на дві підгрупи: KEA1–3 (подібні між собою на 21,9–30,0 %) та KEA4–6 (подібні на 75,0–83,4 %) (рис. 7, табл. 3, <http://cytgen.com/articles/5510075s.pdf>) (Zhu et al., 2018). Експресія генів KEA активуються у відповідь на вплив різних стресових факторів навколошнього середовища. Наприклад, експресія *KEA1*, *KEA3* та *KEA4* підвищується у відповідь на стрес при низьких концентраціях  $\text{K}^+$  у *Arabidopsis*. Проте, при дослідженнях *in vitro*, активність KEA2 та KEA5 підвищувалася в присутності сорбітолу (осмотичний стрес) чи абсцизової кислоти. Таким чином припускається, що внутрішньоклітинні транспортери KEA 2–5 відіграють важливу роль у  $\text{K}^+$  гомеостазі та осмотичній регуляції рослин (Zhu et al., 2018; Zheng et al., 2013).

Транспортери KEA1–3 мають хлоропласту специалізацію (рис. 1). Було показано, що KEA1 та KEA2 локалізуються на мікродоменах внутрішньої оболонки біля обох верхівок хлоропласти на лінії поділу органел, де вони сприяють поділу пластидів та біогенезу тилакоїдної мембрани (Aranda-Sicilia et al., 2016). Проте KEA3 (рис. 1) локалізується на тилакоїдній мембрani та мінімізує pH-залежну втрату енергії в умовах непостійного світла, що необхідно для фотосинтетичної активності та засвоєнню  $\text{CO}_2$  (Zhu et al., 2018; Wang et al., 2017). Також KEA1–3 відіграють важливу роль у розвитку хлоропластів, їх цілісності та фотосинтезі за рахунок механізмів контролю гомеостазу  $\text{K}^+$  та рівня pH (Dana et al., 2016).

Транспортери KEA1–3 мають характерний TrkA-N (KTN) ( $\text{K}^+$  transport, nucleotide binding – транспорт  $\text{K}^+$ , зв’язування нуклеотидів) домен на С-кінці. Мінімальна функціональна одиниця TrkA-N (рис. 7) – це димерна молекула, що з’єднана гнучкою шарнірною ділянкою. Рух цих шарнірів об’єднаний з трансмембральними петлями для контролю потоку  $\text{K}^+$ , що забезпечує механізм відкриття пори каналу. На відміну від KEA1–3, у KEA 4–6 домен TrkA-N



**Рис. 7.** Топологія транспортерів родини КЕА. IEPM – внутрішній шар пластидної мембрани (inner envelope of plastid membrane); EM – мембрани ендосом; 1–12 – це трансмембральні домени; А – TrkA-N домен на карбоксильному кільці (домен зв’язування з нуклеотидами та регуляції транспорту K); СР – сигнальний пептид на аміно кінці

відсутній (рис. 7). Припускається, що філогенетично остання група походить від нащадків цианобактерій (Changoj et al., 2012). При аналізі транскрипційних профілів генів, що кодують КЕА-транспортери було виявлено, що найвищий рівень експресії для *KEA1* спостерігається у листках розетки, а для *KEA2* та *KEA3* у листках на середніх рівнях рослини. Було показано, що найвищий рівень експресії для *KEA2* має у старіючих листках. Проте експресія гена *KEA3* спостерігається у тканинах листків будь-якого віку (Dana et al., 2016).

Транспортери AtKEA 4–6 були виявлені у апараті Гольджі, у мережі транс-Гольджі, у превакуолярних компартментах та у мультивезикулярних тільцях. Було показано, що AtKEA 4–6 є чутливими до низького рівня K<sup>+</sup> та високого рівня Na<sup>+</sup> та Li<sup>+</sup> (Zhu et al., 2018). Щікавим є той факт, що AtKEA 4–6 транспортують та накопичують у ендосомах більшу кількість Na<sup>+</sup> та меншу кількість K<sup>+</sup> в умовах сольового стресу (Zhu et al., 2018). Таким чином ця група AtKEA 4–6 транспортерів може відігравати важливу роль механізмах тканинної солестійкості та ендомембральної утилізації цитотоксичного Na<sup>+</sup>. Експресію *KEA4* та *KEA5* було виявлено в оточуючих судини клітинах первинних та вторинних коренів, а

експресія *KEA6* була відмічена у всіх типах клітин коренів (Zhu et al., 2018). Припускається, що представники KEA5 з сої можуть локалізуватися на плазматичній мембрani та відповідати за транспорт калію (рис. 1) (Isayenkov 2020).

Прямих доказів транспортної активності транспортерів родини KEA дуже мало (Dana et al. 2016). KEA1-6 більш селективні до калію ніж до натрію, що може свідчити про те, що ці транспортери залучені до формування трансмембранного потенціалу мітохондрій (Tsuiji et al., 2019). Аналіз функціональних властивостей KEA1-6 не виявив антипортерної активності та підтверджив їх належність до саме K<sup>+</sup> транспортних систем (Tsuiji et al., 2019). Відомо, що транспортери KEA4-6 беруть участь у формуванні стійкості до засолення та реагують на порушення калієвого гомеостазу, тому транслокація іонів K<sup>+</sup> опосередкована KEA4-6 може свідчити про здатність останніх захищати органели від осмотичного шоку (Zhu et al., 2018; Tsuiji et al., 2019). Припускається, що транспортери AtKEA здатні підтримувати калієвий гомеостаз за рахунок відтоку K<sup>+</sup> з органел, в яких вони локалізуються (Zheng et al., 2013). Отже білки KEA відіграють важливу роль у формуванні та функціонуванні хлоропластів, підтримці K<sup>+</sup> та H<sup>+</sup>

гомеостазу в хлоропластах та формуванні стійкості до надмірного засолення (Dana et al. 2016).

**Транспортери CHX.** Одна з найчисленніших транспортних родин, що відповідає за транспорт  $K^+$  у рослин – це CHX (Cation  $H^+$  exchangers). CHX – антипортери подібні до бактеріальних катіон/ $H^+$  обмінників та беруть участь у поглинанні  $K^+$ , транспорті  $Na^+$ ,  $K^+$ , та  $H^+$  через ендомембрани (Mottaleb et al., 2013) (рис.6). Зазначені функціональні характеристики CHX є подібними до функцій KEA, NHX та HAK. Було показано, що у рослин із великою кількістю генів CHX спостерігається менша кількість генів HAK, наприклад у *Arabidopsis* виявлено 28 та 13 представників відповідно, або навпаки, як наприклад у рисі 17 генів CHX та 27 HAK (Chanroj et al., 2012). Більшість транспортерів родини CHX локалізуються у мембрани аппарату Гольджі, превакуолярні ендомембрани або у ендоплазматичному ретикулюмі (рис. 1) (Nieves-Cordones et al., 2016). PpCHX1 з моху *Physcomitrella patens* має локалізацію у апараті Гольджі (Mottaleb et al., 2013). Було показано, що функцію PpCHX1 можна замінити іншим транспортером, при чому ріст і розвиток рослини при цьому не змінюється (Mottaleb et al., 2013). Наприклад, PpHAK3, що також розташований у апараті Гольджі і відповідає за  $K^+/\text{H}^+$  антипорт може функціонувати замість PpCHX. Хоча більшість CPX транспортерів має ендомембральну локалізацію, деякі представники, а саме AtCHX13, AtCHX21 та PpCHX2 локалізуються у плазматичній мембрани (Chanroj et al., 2012; Mottaleb et al., 2013). Нещодавні дослідження виявили, що CHX13 сприяє надходженню  $K^+$  через плазматичну мембрани клітин коренів, а CHX14 опосередкове видалення та перерозподіл  $K^+$  у кореневих судинах (Zhao et al., 2015). Попри те, що CHX13 та CHX14 мають різні функції гени обох транспортерів активно експресуються під час розвитку пилку, однак не впливають на його дозрівання. Окрім того, CHX13 експресується у корінні пагонів, а CHX14 локалізується у кореневих та листкових судинних тканинах та у місцях переходу коренів у пагони (Zhao et al., 2015).

Геном *Arabidopsis thaliana* кодує 28 різних представників родини CHX, що подібні за своїм розміром. N-кінці у 28 представників AtCHX з *Arabidopsis* та у 16 представників OsCHX з рису мають від 10 до 12 трансмембраних ділянок (приблизно 430 амінокислотних залишків) та гідрофобний C-кінець (не більше 360 залишків) (Sze, et al., 2004). Останні філогенетичні дослідження CHX транспортерів вказують на існування 7 різних кладів, представників транспортерів CHX з *Arabidopsis* належать до п'яти різних груп (Isayenkov 2020; Jia et al., 2017; Jia et al.,

2018). Група IV найбільша і налічує 8 представників: AtCHX15-21 та AtCHX23, серед яких AtCHX16-20 усі належать до ендомембраних транспортерів (Jia et al., 2017; Chanroj et al., 2011). AtCHX 16–19 розділяють та перекривають функції один одного у процесах розмноження та розвитку насіння. AtCHX17 експресується переважно у коренях в умовах стресу (такого як засолення, низький ґрутовий pH, низькі концентрації  $K^+$  у ґрунті), та сприяє підтримці  $K^+$  гомеостазу та регулює pH під впливом сольового стресу (Chanroj et al., 2011). AtCHX20 бере участь у процесах осморегуляції та русі продихових клітин за рахунок контролю руху іонів  $K^+$  та pH (Nieves-Cordones et al., 2016). AtCHX21 ймовірно відповідає за регуляцію балансу  $Na^+$  у ксилемі та його накопиченню у листках. AtCHX23 регулює pH цитозолю (Sze et al., 2004; Chanroj et al., 2011). Також AtCHX21 і AtCHX23 експресуються у пилку, де імовірно залучені у процеси прийому або передачі жіночих сигналів, які націлюють пилкову трубку на сім'язачаток (Nieves-Cordones et al., 2016). У рослин сої (*Glycine max*) було виявлено 34 гени транспортерів CHX, характерною ознакою у яких є наявність N-кінцевого  $Na^+/\text{H}^+$  обмінного домену. GsCHX19.3 відповідає за поглинання  $K^+$  та формування адаптивної відповіді на дію сольового та лужного стресу у рослини (Jia et al., 2017). При дослідженнях *in vitro* було виявлено високий рівень експресії AtCHX16-19 (група IV) у листках, квітках та коренях, а GsCHX19.3 у листках та квітках, що може свідчити про їх роль у розвитку репродуктивних органів (Jia et al., 2017; 2018). Також було показано, що інкубація рослин на високих концентраціях солей сприяла підвищенню експресії GsCHX19.3, а експресія даного гена в трансгенних рослинах *Arabidopsis* значно підвищувала їх солестійкість (Jia et al., 2017). Існує припущення, що процес зниження  $Na^+$  у трансгенного *Arabidopsis* є наслідком активності GsCHX19.3 і відбувається за аналогією з роботою SOS1 помпи (Jia et al., 2018; Gierth et al., 2007; Zhou et al., 2015).

Багато білків CHX існують як пари близьких гомологів, як наприклад AtCHX13 і AtCHX14, AtCHX21 і AtCHX23, що може свідчити про нещодавні процеси дуплікації генів. AtCHX21 та AtCHX13 розташовані у другій хромосомі і найближчими їх гомологами є AtCHX23 та AtCHX14 відповідно, вони в свою чергу розташовані на першій хромосомі. Подібна ситуація у генів AtCHX8 і AtCHX7, що розташовані поруч на другій хромосомі, а їх найближчі гомологи AtCHX6a і AtCHX5 розташовані так само поруч на першій хромосомі (Evans et al., 2011). Хоча родина CHX вважається одною з найчисленніших серед катіонних транспортерів, функції її більшості

її представників залишаються досі невідомими і потребують подальшого детального вивчення та характеристики.

**Заключення.** Транспортні системи калію є важливими елементами життєдіяльності рослин, а саме захисних реакцій, ферментативних процесів та регуляції фізіологічних налаштувань. На додаток, останні роботи свідчать на користь того, що окрім зазначених функцій,  $K^+$  може виступати важливою сигналальною молекулою в процесах відповіді рослин на дію різних типів стресів (Wu et al., 2018). Отже, окрім «класичних» фізіологічних функцій, системи транспорту калію є важливою ланкою сигналічних процесів рослинни та формування адаптивних відповідей на дію різних стресів абіотичної природи. Адекватна та скородинована робота мембраних транспортерів та каналів, що відповідають за мембраний транспорт цього елементу, є ключовою умовою підтримки іонного гомеостазу, розвитку запрограмованої загибелі клітин, механізмів стійкості та адаптації до стресових факторів, розмноження, росту та розвитку рослин.

Прогрес у дослідженнях головних транспортних білків  $K^+$ , дозволив з'ясувати головні шляхи по-трапляння, розподілу та утилізації цього елементу. Окрім того було з'ясовано головні механізми регуляції обміну для цього елементу та інших супутніх мінералів. Підтримка гомеостазу калію в рослинах відбувається за допомогою роботи калієвих каналів, а саме TPK, SKOR, AKT, NSCC і систем активного транспорту CPA, HKTта KUP/NAK/KT. Зокрема було показано, що рослини із високим вмістом  $K^+$  набагато краще перекосять сольовий стрес та дефіцит води. Окрім загальновідомих фактів, застосування каналів родин SKOR та AKT для покращення  $K^+$  гомеостазу, соле- та посухостійкості, було б варто звернути увагу на функціональну характеристику каналів родини TPK. Останні данні свідчать про активну участі представників цих каналів у механізмах стійкості до посухи та засолення (Isayenkov, 2012). Проте детальний механізм участі цих каналів в регуляції цих стресів залишається, ще не відомим. Процес колонізації суходолу рослинами, надбанням клітинами центральних вакуолів та потужний еволюційний поштовх для розвитку квіткових рослин привів до значного збільшення та структурного ускладнення транспортерів суперодини CPA. Зокрема вакуолярна спеціалізація NHX1-4 була нещодавно набута в ході еволюційного розвитку. Значне збільшення числа членів підродини CHX тісно пов'язане з розвитком квіткових рослин та забезпеченням функціонування квітки та розвитку пилку (Jia et al., 2018). На нашу думку, важливим напрямком для подальших досліджень мембраних систем транспорту калію є інтенсифікація та поглиблення

досліджень систем активного транспорту  $K^+$ , а саме KEA та CHX транспортерів. На жаль, більшість функціональних характеристик та біологічних функцій цих транспортерів залишається невідомими. З'ясування особливостей транспорту цих транспортерів та біологічної ролі членів цієї підродини наддасть можливість не тільки поглибити наші знання відносно регуляції та процесів формування квітки та пилку, життедіяльності хлоропластів та інших клітинних органел, а і з'ясувати їх роль в механізмах адаптації до дії абіотичних стресів та подальшого застосування їх у різних напрямках біотехнології рослин, молекулярної селекції та впровадження сучасних технік ведення сільського господарства.

*Ця стаття була написана за фінансової підтримки цільової комплексної міждисциплінарної програми наукових досліджень НАН України «Геномні, молекулярні та клітинні основи розвитку інноваційних біотехнологій» (Державний реєстраційний номер: 0120U103337)*

## OTASSIUM TRANSPORT SYSTEMS AND THEIR ROLE IN STRESS RESPONSE, PLANT GROWTH AND DEVELOPMENT

*E.O. Nestrerenko, O.E. Krasnoperova, S.V. Isayenkov*

Institute of Food Biotechnology and Genomics,  
NAS of Ukraine, Osipovskogo str 2a, 04123,  
Kyiv, Ukraine

Institute of Molecular Biology and Genetics  
NAS of Ukraine, Zabolotnogo str 150., 03143,  
Kyiv, Ukraine

E-mail: stan.isayenkov@gmail.com

In this review the  $K^+$  transport systems were selected and characterized. Detailed literature analysis and data summarising regarding main members of  $K^+$  transport systems, their biological roles in plant growth and developments, mechanisms of abiotic stress tolerance were conducted. The processes of  $K^+$  uptake, transport tissue and cellular distribution were described. Structure characteristic and topology of  $K^+$  transport proteins, their role in function specificity were analysed. The role of these membrane transport proteins in signaling, drought and salt tolerance or  $K^+$  deficiency were critically evaluated. The new perspective directions for further research of  $K^+$  transport proteins were suggested.

## СПИСОК ЛІТЕРАТУРИ

- Ahmad I, Devonshire J, Mohamed RMME et al. (2016) Overexpression of the Potassium Channel TPKb in Small Vacuoles confers Osmotic and Drought Tolerance to Rice. *New Phytol.* **209**(3):1040–8. doi: 10.1111/nph.13708.  
Ahmad I, Maathuis FJM. (2013) Cellular and tissue

- distribution of potassium: physiological relevance, mechanisms and regulation. *J. Plant Physiol.* **171**(9):708–14. doi: 10.1016/j.jplph.2013.10.016.
- Ali R, Zielinski RE, Berkowitz GA. (2006) Expression of Plant Cyclic Nucleotide-Gated Cation Channels in Yeast. *J. Exp. Bot.* **57**(1):125–38. doi: 10.1093/jxb/erj012.
- Almeida P, Katschnig D, de Boer AH. (2013) HKT Transporters – State of the Art. *Int. J. Mol. Sci.* **14**(10):20359–85. doi: 10.3390/ijms141020359.
- Amtamann A, Troufflard S, Armengaud P. (2008) The effect of potassium nutrition on pest and disease resistance in plants. *Physiol. Plant.* **133**:682–91. doi: 10.1111/j.1399-3054.2008.01075.
- Apse MP, Aharon GS, Snedden WA et al. (1999) Salt tolerance conferred by overexpression of a vacuolar  $\text{Na}^+/\text{H}^+$  antiport in *Arabidopsis*. *Science*. **285**(5431):1256–88. doi: 10.1126/science.285.5431.1256.
- Aranda-Sicilia MN, Aboukila A, Armbruster U et al. (2016) Envelope  $\text{K}^+/\text{H}^+$  Antiporters *AtKEA1* and *AtKEA2* Function in Plastid Development. *Plant Physiol.* **172**(1):441–9. doi: 10.1104/pp.16.00995.
- Ayadi M, Ayed RB, Mzid, R et al. (2019) Computational Approach for Structural Feature Determination of Grapevine NHX Antiporters. *Biomed. Res. Int.* **2019**:1–13. doi: 10.1155/2019/1031839.
- Ayadi M, Martins V, Ayed RB et al. (2019) Genome Wide Identification, Molecular Characterization, and Gene Expression Analyses of Grapevine NHX Antiporters Suggest Their Involvement in Growth, Ripening, Seed Dormancy, and Stress Response. *Biochem. Genet.* **58**(1):102–28. doi: 10.1007/s10528-019-09930-4.
- Barragan V, Leidi EO, Andres Z et al. (2012) Ion exchangers NHX1 and NHX2 mediate active potassium uptake into vacuoles to regulate cell turgor and stomatal function in *Arabidopsis*. *Plant Cell*. **24**(3):1127–42. doi: 10.1105/tpc.111.095273.
- Bassil E, Blumwald E, Coku A. (2012) Cellular ion homeostasis: emerging roles of intracellular NHX  $\text{Na}^+/\text{H}^+$  antiporters in plant growth and development. *J. Exp. Botany*. **63**(16):5727–40. doi: 10.1093/jxb/ers250.
- Bassil E, Zhang S, Gong H et al. (2019) Cation Specificity of Vacuolar NHX-Type Cation/ $\text{H}^+$  Antiporters. *Plant Physiol.* **179**(2):616–29. doi: 10.1104/pp.18.01103.
- Becker D, Geiger D, Dunkel M et al. (2004) AtTPK4, an *Arabidopsis* Tandem-Pore  $\text{K}^+$  Channel, Poised to Control the Pollen Membrane Voltage in a pH- And  $\text{Ca}^{2+}$ -dependent Manner. *Proc. Natl. Acad. Sci. USA*. **101**(44):15621–6. doi: 10.1073/pnas.0401502101.
- Britto DT, Kronzucker HJ. (2008) Cellular mechanisms of potassium transport in plants. *Physiol. Plant.* **133**:637–50. doi: 10.1111/j.1399-3054.2008.01067.x.
- Busch W. (2002) The Transporter Classification (TC) System. *Crit. Rev. Biochem. Mol. Biol.* **37**(5):287–37. doi: 10.1080/10409230290771528.
- Campbell MT, Bandillo N, Razzaq F et al. (2017) Allelic variants of OsHKT1;1 underlie the divergence between indica and japonica subspecies of rice (*Oryza sativa*) for root sodium content. *PLOS Genetics*. **13**(6):1–31. doi: 10.1371/journal.pgen.1006823.
- Cao B, Xia Z, Liu C et al. (2020) New Insights into the Structure-Function Relationship of the Endosomal-Type  $\text{Na}^+, \text{K}^+/\text{H}^+$  Antiporter NHX6 from Mulberry (*Morus notabilis*). *Int. J. Mol. Sci.* **28**(2):1–19. doi: 10.3390/ijms21020428.
- Cao Y, Liang X, Yin P et al. (2018) A domestication-associated reduction in  $\text{K}^+$ -preferring HKT transporter activity underlies maize shoot  $\text{K}^+$  accumulation and salt tolerance. *New Phytol.* **222**(1):301–17. doi: 10.1111/nph.15605.
- Carraretto L, Formentin E, Teardo E et al. (2013) A thylakoid-located two-pore  $\text{K}^+$  channel controls photosynthetic light utilization in plants. *Science*. **342**(6154):114–8. doi: 10.1126/science.1242113.
- Chanroj S, Wang G, Venema K et al. (2012) Conserved and diversified gene families of monovalent cation/ $\text{H}^+$  antiporters from algae to flowering plants. *Front Plant Sci.* **25**(3):1–18. doi: 10.3389/fpls.2012.00025.
- Chanroj S, Lu Y, Padmanaban S et al. (2011) Plant-Specific Cation/ $\text{H}^+$  Exchanger 17 and Its Homologs Are Endomembrane  $\text{K}^+$  Transporters with Roles in Protein Sorting. *J. Biol. Chem.* **286**(39):33931–41. doi: 10.1074/jbc.M111.252650.
- Cheng X, Liu X, Mao W et al. (2018) Genome-Wide Identification and Analysis of HAK/KUP/KT Potassium Transporters Gene Family in Wheat (*Triticum aestivum* L.). *Mol. Sci.* **19**(3969):1–21. doi: 10.3390/ijms19123969.
- Chen G, Liu C, Gao Z et al. (2017) OsHAK1, a High-Affinity Potassium Transporter, Positively Regulates Responses to Drought Stress in Rice. *Front. Plant Sci.* **8**(1885):1–17. doi: 10.3389/fpls.2017.01885.
- Chen G, Liu C, Gao Z et al. (2017) OsHAK1, a High-Affinity Potassium Transporter, Positively Regulates Responses to Drought Stress in Rice. *Front. Plant Sci.* **8**(2017):1–17. doi: 10.3389/fpls.2017.01885.
- Corratgé-Faillie C, Ronzier E, Sanchez F et al. (2017) The *Arabidopsis* guard cell outward potassium channel GORK is regulated by CPK33. *FEBS Letters*. **591**:1982–92. doi: 10.1002/1873-3468.12687.
- Cuin TA, Dreyer I, Machard E. (2018) The Role of Potassium Channels in *Arabidopsis thaliana* Long Distance Electrical Signalling: AKT2 Modulates Tissue Excitability While GORK Shapes Action Potentials. *Int. J. Mol. Sci.* **19**:1–17. doi: 10.3390/ijms19040926.
- Dana S, Herdean A, Lundin B et al. (2016) Each of

- the chloroplast potassium efflux antiporters affects photosynthesis and growth of fully developed *Arabidopsis* rosettes under short-day photoperiod. *Physiol. Plant.* **158**(4):483–91. doi: 10.1111/ppl.12452.
- Demidchik V, Shabala S, Isayenkov SV et al. (2018) Calcium transport across plant membranes: mechanisms and functions. *New Phytol.* **220**(1):49–69. doi: 10.1111/nph.15266.
- Demidchik V, Straltsova D, Medvedev SS et al. (2014) Stress-induced electrolyte leakage: the role of K<sup>+</sup>-permeable channels and involvement in programmed cell death and metabolic adjustment. *J. Exp. Bot.* **65**:1259–70. doi: 10.1093/jxb/eru004.
- Dong W, Li D, Qiu N et al. (2018) The functions of plant cation/proton antiporters. *Biol. Plan.* **62**(3):421–7. doi: 10.1007/s10535-018-0790-7.
- Dragwidge JM, Scholl S, Schumacher K et al. (2019) NHX-type Na<sup>+</sup>(K<sup>+)/H<sup>+</sup>) antiporters are required for TGN/EE trafficking and endosomal ion homeostasis in *Arabidopsis thaliana*. *J. Cell Sci.* **132**:1–10. doi: 10.1242/jcs.226472.</sup>
- Epstein E, Rains DV, Elzam OE. (1961) Resolution of dual mechanisms of potassium absorption by barley roots. *Proc. Natl. Acad. Sci. USA.* **49**:684–92. doi: 10.1073/pnas.49.5.684.
- Evans AR, Hall D, Pritchard J et al. (2011) The roles of the cation transporters CHX21 and CHX23 in the development of *Arabidopsis thaliana*. *J. Exp. Botany.* **63**(1):59–67. doi: 10.1093/jxb/err271.
- Forster S, Schmidt LK, Kopic E. (2019) Wounding-Induced Stomatal Closure Requires Jasmonate-Mediated Activation of GORK K<sup>+</sup> Channels by a Ca<sup>2+</sup> Sensor-Kinase CBL1-CIPK5 Complex. *Dev. Cell.* **48**:1–13. doi: 10.1016/j.devcel.2018.11.014.
- Gajdanowicz P, Michard E, Sandmann M et al. (2011) Potassium (K<sup>+</sup>) gradients serve as a mobile energy source in plant vascular tissues. *Proc. Natl. Acad. Sci. USA.* **108**(2):864–9. doi: 10.1073/pnas.1009777108.
- Gambale F, Uozumi N. (2006) Properties of Shaker-type Potassium Channels in Higher Plants. *J. Membr. Biol.* **210**(1):1–19. doi: 10.1007/s00232-006-0856-x.
- Gaymard F, Pilot G, Lacombe B et al. (1998) Identification and Disruption of a Plant Shaker-like Outward Channel Involved in K<sup>+</sup> Release into the Xylem Sap. *Cell.* **94**:647–55. doi: 10.1016/s0092-8674(00)81606-2.
- Gierth M, Maser P. (2007) Potassium transporters in plants – Involvement in K<sup>+</sup> acquisition, redistribution and homeostasis. *FEBS Letters.* **581**:2348–56. doi: 10.1016/j.febslet.2007.03.035.
- Gobert A, Isayenkov S, Voelker C et al. (2007) The Two-Pore Channel TPK1 Gene Encodes the Vacuolar K<sup>+</sup> Conductance and Plays a Role in K<sup>+</sup> Homeostasis. *Proc. Natl. Acad. Sci. USA.* **104**(25):10726–31. doi: 10.1073/pnas.0702595104.
- Gobert A, Park G, Amtmann A et al. (2006) *Arabi-* dopsis *Thaliana* Cyclic Nucleotide Gated Channel 3 Forms a Non-Selective Ion Transporter Involved in Germination and Cation Transport. *J. Exp. Bot.* **57**(4):791–800. doi: 10.1093/jxb/erj064.
- Grabov A. (2007) Plant KT/KUP/HAK Potassium Transporters: Single Family – Multiple Functions. *Ann. Bot.* **99**:1035–41. doi: 10.1093/aob/mcm066.
- Hamamoto S, Marui J, Matsuoka K et al. (2008) Characterization of a Tobacco TPK-type K<sup>+</sup> Channel as a Novel Tonoplast K<sup>+</sup> Channel Using Yeast Tonoplasts. *J. Biol. Chem.* **283**(4):1911–20. doi: 10.1074/jbc.M708213200.
- Hampton CR, Bowen HC, Broadley MR et al. (2004) Cesium Toxicity in *Arabidopsis*. *Plant Physiol.* **136**(3):3824–37. doi: 10.1104/pp.104.046672.
- Han M, Wu W, Wu WH et al. (2016) Potassium Transporter KUP7 Is Involved in K<sup>+</sup> Acquisition and Translocation in *Arabidopsis* Root under K<sup>+</sup>-Limited Conditions. *Mol. Plant.* **9**(3):437–46. doi: 10.1016/j.molp.2016.01.012.
- Hauser F, Horie T. (2010) A conserved primary salt tolerance mechanism mediated by HKT transporters: a mechanism for sodium exclusion and maintenance of high K<sup>+</sup>/Na<sup>+</sup> ratio in leaves during salinity stress. *Plant, Cell and Environ.* **33**(4):552–65. doi: 10.1111/j.1365-3040.2009.02056.x.
- Held K, Pascaud F, Eckert C et al. (2011) Calcium-dependent modulation and plasma membrane targeting of the AKT2 potassium channel by the CBL4/CIPK6 calcium sensor/protein kinase complex. *Cell Res.* **21**:1116–30. doi: 10.1038/cr.2011.50.
- Hühner R, Galvis VC, Strand DD et al. (2019) Photosynthesis in *Arabidopsis* Is Unaffected by the Function of the Vacuolar K<sup>+</sup> Channel TPK3. *Plant Physiol.* **180**(3):1322–35. doi: 10.1104/pp.19.00255.
- Horie T, Brodsky DE, Costa A. (2011) K<sup>+</sup> Transport by the *OsHKT2;4* Transporter from Rice with Atypical Na<sup>+</sup> Transport Properties and Competition in Permeation of K<sup>+</sup> over Mg<sup>2+</sup> and Ca<sup>2+</sup> Ions. *Plant Physiol.* **156**(3):1493–507. doi: 10.1104/pp.110.168047.
- Horie T, Hauser F, Schroeder JI. (2009) HKT transporter-mediated salinity resistance mechanisms in *Arabidopsis* and monocot crop plants. *Trend Plant Sci.* **14**(12):660–8. doi: 10.1016/j.tplants.2009.08.009.
- Hosy E, Vavasseur A, Mouline K. (2003) The *Arabidopsis* outward K<sup>+</sup> channel GORK is involved in regulation of stomatal movements and plant transpiration. *Proc. Natl. Acad. Sci. USA.* **100**(29):5549–54. doi: 10.1073/pnas.0733970100.
- Huang S, Spielmeyer W, Lagudah ES et al. (2008) Comparative mapping of HKT genes in wheat, barley, and rice, key determinants of Na<sup>+</sup> transport, and salt tolerance. *J. Exp. Botany.* **59**(4):927–37. doi: 10.1093/jxb/ern033.
- Huertas R, Rubio L, Cagnac O et al. (2013) The K<sup>+</sup>/H<sup>+</sup>

- antiporter *LeNHX2* increases salt tolerance by improving K<sup>+</sup> homeostasis in transgenic tomato. *Plant Cell Environ.* **36**:2135–49. doi: 10.1111/pce.12109.
- Isayenkov SV, Dabrowski SA, Pan T et al (2020) Phylogenetic diversity and physiological roles of plant monovalent cation/H<sup>+</sup> antiporters. *Front. Plant Sci.* **11**:573564. doi: 10.3389/fpls.2020.573564.
- Isayenkov SV, Maathuis FJM. (2019) Plant Salinity Stress: Many Unanswered Questions Remain. *Front Plant Sci.* **10**:1–11. doi: 10.3389/fpls.2019.00080.
- Isaenkov S, Maathuis FJM. (2013) *Arabidopsis thaliana* vacuolar TPK channels form functional K<sup>+</sup> uptake pathways in *Escherichia coli*. *Plant Signal Behav.* **8**(7):1–5. doi: 10.4161/psb.24665.
- Isayenkov SV. (2012) Physiological and molecular aspects of salt stress in plants. *Cytol. Genet.* **46**(5):302–18. doi: 10.3103/S0095452712050040.
- Isayenkov SV, Isner JC, Maathuis FJM. (2011) Membrane localisation diversity of TPK channels and their physiological role. *Plant Signal Behav.* **6**(3):1201–4. doi: 10.4161/psb.6.8.15808.
- Isayenkov S, Isner JC, Maathuis FJM. (2011) Rice Two-Pore K<sup>+</sup> Channels Are Expressed in Different Types of Vacuoles. *Plant Cell.* **23**(2):756–68. doi: 10.1105/tpc.110.081463.
- Jeanguenin L, Alcon C, Duby G et al. (2011) *AtKC1* is a general modulator of *Arabidopsis* inward *Shaker* channel activity. *Plant J.* **67**:570–82. doi: 10.1111/j.1365-313X.2011.04617.x.
- Jegadeesan V, Kumari K, Pulipati S et al. (2019) *PcNHX1* promoter (*PcNHX1p*) confers Na<sup>+</sup>-specific hypocotyl elongation and stem-specific Na<sup>+</sup> accumulation in transgenic tobacco. *Plant Physiol. Biochem.* **139**:161–70. doi: 10.1016/j.plaphy.2019.03.014.
- Jha SK, Sharma M, Pandey GK. (2016) Role of Cyclic Nucleotide Gated Channels in Stress Management in Plants. *Curr. Genom.* **17**(4):315–29. doi: 10.2174/1389202917666160331202125.
- Jia B, Sun M, DuanMu H et al. (2017) *GsCHX19.3*, a member of cation/H<sup>+</sup> exchanger superfamily from wild soybean contributes to high salinity and carbonate alkaline tolerance. *Sci. Rep.* **7**(9423):1–12. doi: 10.1038/s41598-017-09772-3.
- Jia Q, Zheng C, Sun S et al. (2018) The role of plant cation/proton antiporter gene family in salt tolerance. *Biol. Plant.* **62**:617–29. doi: 10.1007/s10535-018-0801-8.
- Johansson I, Wulfertange K, Porée F et al. (2006) External K<sup>+</sup> modulates the activity of the *Arabidopsis* potassium channel SKOR via an unusual mechanism. *Plant J.* **46**(2):269–81. doi: 10.1111/j.1365-313X.2006.02690.x.
- Kleeff PJM, Gao J, Mol S et al. (2018) The *Arabidopsis* GORK K<sup>+</sup>-channel is phosphorylated by calcium-dependent protein kinase 21 (CPK21), which in turn is activated by 14-3-3 proteins. *Plant Physiol. Biochem.* **125**:219–31. doi: 10.1016/j.plaphy.2018.02.013.
- Latz A, Becker D, Hekman M et al. (2007) TPK1, a Ca(2+)-regulated *Arabidopsis* vacuole two-pore K(+) channel is activated by 14-3-3 proteins. *Plant J.* **52**:449–59. doi: 10.1111/j.1365-313X.2007.03255.x.
- Laurie S, Feeney KA, Maathuis FJM et al. (2002) A Role for HKT1 in Sodium Uptake by Wheat Roots. *Plant J.* **32**(2):139–49. doi: 10.1046/j.1365-313x.2002.01410.x.
- Lebaudy A, Very AA, Sentenac H. (2007) K<sup>+</sup> channel activity in plants: Genes, regulations and functions. *FEBS Letters.* **581**:2357–66. doi: 10.1016/j.febslet.2007.03.058.
- Llopis-Torregrosa V, Hušeková B, Sychrová H. (2016) Potassium Uptake Mediated by Trk1 Is Crucial for *Candida glabrata* Growth and Fitness. *PLoS One.* **11**(4):1–18. doi: 10.1371/journal.pone.0153374.
- Li W, Xu G, Alli A et al. (2018) Plant HAK/KUP/KT K<sup>+</sup> transporters: Function and regulation. *Sem. Cell Develop. Biol.* **74**:133–41. doi: 10.1016/j.semcdcb.2017.07.009.
- Liu K, Li L, Luan S. (2006) Intracellular K<sup>+</sup> sensing of SKOR, a *Shaker*-type K<sup>+</sup> channel from *Arabidopsis*. *Plant J.* **46**:260–8. doi: 10.1111/j.1365-313X.2006.02689.x.
- Maathuis FJM. (2011) Vacuolar Two-Pore K<sup>+</sup> Channels Act as Vacuolar Osmosensors. *New Phytol.* **191**(1):84–91. doi: 10.1111/j.1469-8137.2011.03664.x.
- Maathuis FJM, Filatov V, Herzyk P et al. (2003) Transcriptome analysis of root transporters reveals participation of multiple gene families in the response to cation stress. *Plant J.* **35**:675–92. doi: 10.1046/j.1365-313x.2003.01839.x.
- Maathuis FJM. (2006) The Role of Monovalent Cation Transporters in Plant Responses to Salinity. *J. Exp. Bot.* **57**(5):1137–47. doi: 10.1093/jxb/erj001.
- MacKinnon R. (2003) Potassium channels. *FEBS Letters.* **555**:62–5. doi: 10.1016/s0014-5793(03)01104-9.
- Marcel D, Müller T, Hedrich R et al. (2010) K<sup>+</sup> transport characteristics of the plasma membrane tandem-pore channel TPK4 and pore chimeras with its vacuolar homologs. *FEBS Letters.* **584**:2433–9. doi: 10.1016/j.febslet.2010.04.038.
- Mian A, Oomen RJFJ, Isayenkov S et al. (2011) Overexpression of an Na<sup>+</sup>- and K<sup>+</sup>-permeable HKT transporter in barley improves salt tolerance. *Plant J.* **68**(3):468–79. doi: 10.1111/j.1365-313X.2011.04701.x.
- Mishra S, Singh B, Panda K et al. (2016) Association of SNP Haplotypes of *HKT* Family Genes with Salt Tolerance in Indian Wild Rice Germplasm. *Rice (NY).* **9**(1):1–15. doi: 10.1186/s12284-016-0083-8.
- Mushke R, Yarra R, Kirti PB. (2019) Improved salinity

- tolerance and growth performance in transgenic sunflower plants via ectopic expression of a wheat antiporter gene (*TaNHX2*). Mol. Biol. Rep. **46**:5941–53. doi: 10.1007/s11033-019-05028-7.
- Mottaleb SA, Rodriguez-Navarro A, Haro R. (2013) Knockouts of *Physcomitrella patens* CHX1 and CHX2 Transporters Reveal High Complexity of Potassium Homeostasis. Plant Cell Physiol. **54**(9):1455–68. doi: org/10.1093/pcp/pct096.
- Nawaz I, Iqbal M, Hakvoort HWJ. (2019) Analysis of *Arabidopsis thaliana* HKT1 and *Eutrema salsugineum/botschantzevii* HKT1;2 Promoters in Response to Salt Stress in *Athkt 1:1* Mutant. Mol. Biotechnol. **61**(6):442–50. doi: 10.1007/s12033-019-00175-5.
- Nieves-Cordones M, Al Shibliwi FR, Sentenac H. (2016) Roles and Transport of Sodium and Potassium in Plants. Met. Ions Life Sci. **16**:291–324. doi: 10.1007/978-3-319-21756-7\_9.
- Nieves-Cordones M, Alemán F, Martínez V et al. (2010) The *Arabidopsis thaliana* HAK5 K<sup>+</sup> Transporter Is Required for Plant Growth and K<sup>+</sup> Acquisition from Low K<sup>+</sup> Solutions under Saline Conditions. Mol. Plant. **3**(2):326–33. doi: 10.1093/mp/ssp102.
- Osakabe Y, Arinaga N, Umezawa T et al. (2013) Osmotic Stress Responses and Plant Growth Controlled by Potassium Transporters in *Arabidopsis*. Plant Cell. **25**:609–24. doi: 10.1105/tpc.112.105700.
- Ou W, Mao X, Huang C et al. (2018) Genome-Wide Identification and Expression Analysis of the KUP Family under Abiotic Stress in Cassava (*Manihot esculenta* Crantz). Fron. Physiol. **9**(17):1–11. doi: 10.3389/fphys.2018.00017.
- Papazian DM, Schwarz TL, Tempel BL et al. (1987) Cloning of the genomic and complementary DNA from *Shaker*, a putative potassium channel gene from *Drosophila*. Science. **237**:749–53. doi: 10.1126/science.2441470.
- Ren ZH, Gao JP, Li LG et al. (2005) A rice quantitative trait locus for salt tolerance encodes a sodium transporter. Nat. Genet. **37**(10):1141–6. doi: 10.1038/ng1643.
- Rodríguez-Navarro A, Rubio F. (2006) High-affinity potassium and sodium transport systems in plants. J. Exp. Bot. **57**(5):1149–60. doi: 10.1093/jxb/erj068.
- Rodríguez-Rosales MP, Gálvez FJ, Huertas R et al. (2009) Plant NHX cation/proton antiporters. Plant Signal Behav. **4**(4):265–76. doi: 10.4161/psb.4.4.7919.
- Ruiz-Lau N, Bojyrquez-Quintal E, Benito B et al. (1980) Molecular Cloning and Functional Analysis of a Na<sup>+</sup>-Insensitive K<sup>+</sup> Transporter of *Capsicum chinense* Jacq. Fron Plant Sci. **7**(1980):1–14. doi: 10.3389/fpls.2016.01980.
- Saier MH Jr. (2000) A Functional-Phylogenetic Classification System for Transmembrane Solute Transporters. Microbiol. Mol. Biol. Rev. **64**(2):354–411. doi: 10.1128/mmbr.64.2.354-411.2000.
- Schachtman DP, Schroeder JI. (1994) Structure and transport mechanism of a high-affinity potassium uptake transporter from higher plants. Nature. **370**(6491):655–8. doi: 10.1038/370655a0.
- Sentenac H, Bonneau N, Minet M et al. (1992) Cloning and expression in yeast of a plant potassium ion transport system. Science. **256**:663–5. doi: 10.1126/science.1585180.
- Sharma T, Dreyer I, Riedelsberger J. (2013) The role of K<sup>+</sup> channels in uptake and redistribution of potassium in the model plant *Arabidopsis thaliana*. Fron Plant Sci. **4**:1–16. doi: 10.3389/fpls.2013.00224.
- Sharma H, Taneja M, Upadhyay SK. (2020) Identification, characterization and expression profiling of cation-proton antiporter superfamily in *Triticum aestivum* L. and functional analysis of *TaNHX4-B*. Genomics. **112**(1):356–70. doi: 10.1016/j.ygeno.2019.02.015.
- Su Y, Luo W, Lin W et al. (2015) Model of Cation Transportation Mediated by High-Affinity Potassium Transporters (HKTs) in Higher Plants. Biol. Proc. Online. **17**(1):1–13. doi: 10.1186/s12575-014-0013-3.
- Sze H, Padmanaban S, Cellier F et al. (2004) Expression Patterns of a Novel *AtCHX* Gene Family Highlight Potential Roles in Osmotic Adjustment and K<sup>+</sup> Homeostasis in Pollen Development. Plant Physiol. **131**(1):2532–47. doi: 10.1104/pp.104.046003.
- Tang RJ, Zhao FG, Yang Y et al. (2020) Calcium Signalling Network Activates Vacuolar K<sup>+</sup> Remobilization to Enable Plant Adaptation to low-K Environments. Nat. Plants. **6**(4):384–93. doi: 10.1038/s41477-020-0621-7.
- Tester M, Devenport R. (2003) Na<sup>+</sup> tolerance and Na<sup>+</sup> transport in higher plants. Ann. Bot. **91**(5):503–27. doi: 10.1093/aob/mcg058.
- Tsujii M, Kera K, Hamamoto S et al. (2019) Evidence for potassium transport activity of *Arabidopsis* KEA1–KEA6. Sci. Rep. **9**(1):1–13. doi: 10.1038/s41598-019-46463-7.
- Very AA, Sentenac H. (2003) Molecular mechanisms and regulation of K<sup>+</sup> transport in higher plants. Ann. Rev. Plant Biol. **54**:575–603. doi: 10.1146/annurev.arplant.54.031902.134831.
- Voelker C, Schmidt D, Mueller-Roeber B et al. (2006) Members of the *Arabidopsis* AtTPK/KCO Family Form Homomeric Vacuolar Channels in Plantata. Plant J. **48**(2):296–306. doi: 10.1111/j.1365-313X.2006.02868.x.
- Wang C, Yamamoto H, Narumiya F et al. (2017) Fine-tuned regulation of the K<sup>+</sup>/H<sup>+</sup> antiporter KEA3 is required to optimize photosynthesis during induction. Plant J. **89**(3):540–53. doi: 10.1111/tpj.13405.
- Wang Y, Lü J, Chen D. (2018) Genome-wide Identifi-

- fication, Evolution, and Expression Analysis of the KT/HAK/KUP Family in Pear. *Genome*. **61**(10):1–46. doi: 10.1139/gen-2017-0254.
- Ward JM, Mäser P, Schroeder JI. (2009) Plant Ion Channels: Gene Families, Physiology, and Functional Genomics Analyses. *Ann. Rev. Physiol.* **71**:59–82. doi: 10.1146/annurev.physiol.010908.163204.
- Wu H, Zhang X, Giraldo JP et al. (2018) It is not all about sodium: revealing tissue specificity and signalling roles of potassium in plant responses to salt stress. *Plant Soil*. **431**:1–17. doi: 10.1007/s11104-018-3770-y.
- Yamaguchi T, Hamamoto N, Uozumi N. (2013) Sodium Transport System in Plant Cells. *Front Plant Sci.* **4**(410):1–7. doi: 10.3389/fpls.2013.00410.
- Yang T, Zhang S, Hu Y et al. (2014) The Role of a Potassium Transporter *OsHAK5* in Potassium Acquisition and Transport from Roots to Shoots in Rice at Low Potassium Supply Levels. *Plant Physiol.* **166**:945–59. doi: 10.1104/pp.114.246520.
- Yokoi S, Quintero FJ, Cubero B et al. (2002) Differential expression and function of *Arabidopsis thaliana* NHX Na<sup>+</sup>/H<sup>+</sup> antiporters in the salt stress response. *Plant J.* **30**(5):529–39. doi: 10.1046/j.1365-313x.2002.01309.x.
- Yuen CYL, Christopher DA. (2010) The role of cyclic nucleotide-gated channels in cation nutrition and abiotic stress. In: Demidchik V, Maathuis F (ed) *Ion channels and plant stress responses*. Springer, Berlin, p 137–57. doi: 10.1007/978-3-642-10494-7\_7.
- Zhang M, Liang X, Wang L et al. (2020) HAK family Na<sup>+</sup> transporter confers natural variation of salt tolerance in maize. *Nat. Plants*. **5**:1297–308. doi: 10.1038/s41477-019-0565-y.
- Zhang S, Tong Y, Li Y. (2019) Genome-wide identification of the HKT genes in five Rosaceae species and expression analysis of HKT genes in response to salt-stress in *Fragaria vesca*. *Genes Genom.* **41**:325–36. doi: 10.1007/s13258-018-0767-0.
- Zhang Y, Fang J, Wu X et al. (2018) Na<sup>+</sup>/K<sup>+</sup> Balance and Transport Regulatory Mechanisms in Weedy and Cultivated Rice (*Oryza sativa* L.) Under Salt Stress. *BMC Plant Biol.* **18**(375):1–14. doi: 10.1186/s12870-018-1586-9.
- Zhao J, Li P, Motes CM et al. (2015) CHX14 is a plasma membrane K<sup>+</sup>-efflux transporter that regulates K<sup>+</sup> redistribution in *Arabidopsis thaliana*. *Plant Cell Environ.* **38**:2223–38. doi: 10.1111/pce.1252.
- Zheng S, Pan T, Fan L et al. (2013) A Novel *AtKEA* Gene Family, Homolog of Bacterial K<sup>+</sup>/H<sup>+</sup> Antiporters, Plays Potential Roles in K<sup>+</sup> Homeostasis and Osmotic Adjustment in *Arabidopsis*. *PloS One*. **8**(11):1–19. doi: org/10.1371/journal.pone.0081463.
- Zhou Y, Yin X, Duan R et al. (2015) *SpAHA1* and *SpSOS1* Coordinate in Transgenic Yeast to Improve Salt Tolerance. *PLoS One*. **10**(9):1–14. doi: 10.1371/journal.pone.0137447.
- Zhu X, Pan T, Zhang X et al. (2018) K<sup>+</sup> Efflux Antiporters 4, 5, and 6 Mediate pH and K<sup>+</sup> Homeostasis in Endomembrane Compartments. *Plant Physiol.* **178**(4):1657–78. doi: 10.1104/pp.18.01053.

Надійшла в редакцію 03.07.20  
Після доопрацювання 20.07.20  
Прийнята до друку 18.01.21